



รายงานการวิจัย

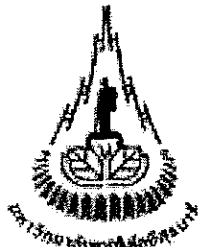
การพัฒนาวิธีวิเคราะห์กลุ่มอินทรีย์คาร์บอนและ
กลุ่มธาตุคาร์บอนในตัวอย่างฝุ่นละอองขนาดเล็กด้วยเครื่อง
อิลเมเนทอล ออนไลเซอร์

(Development of organic and elemental carbon analyses in
fine particulate matter by elemental analyzer)

มหาวิทยาลัยเทคโนโลยีสุรนารี

ได้รับทุนสนับสนุนการวิจัยจาก
มหาวิทยาลัยเทคโนโลยีสุรนารี

ผลงานวิจัยเป็นความรับผิดชอบของหัวหน้าโครงการวิจัยแต่เพียงผู้เดียว



รายงานการวิจัย

การพัฒนาวิธีวิเคราะห์กําลุ่มอินทรีย์คาร์บอนและ
กลุ่มธาตุคาร์บอนในตัวอย่างฝุ่นละอองขนาดเล็กด้วยเครื่อง
อิลิเมนทอล อนาไลเซอร์

(Development of organic and elemental carbon analyses in
fine particulate matter by elemental analyzer)

ผู้วิจัย
นายนรек เชื้อสุวรรณ
สาขาวิชาอนามัยสิ่งแวดล้อม

สำนักวิชาแพทยศาสตร์

มหาวิทยาลัยเทคโนโลยีสุรนารี

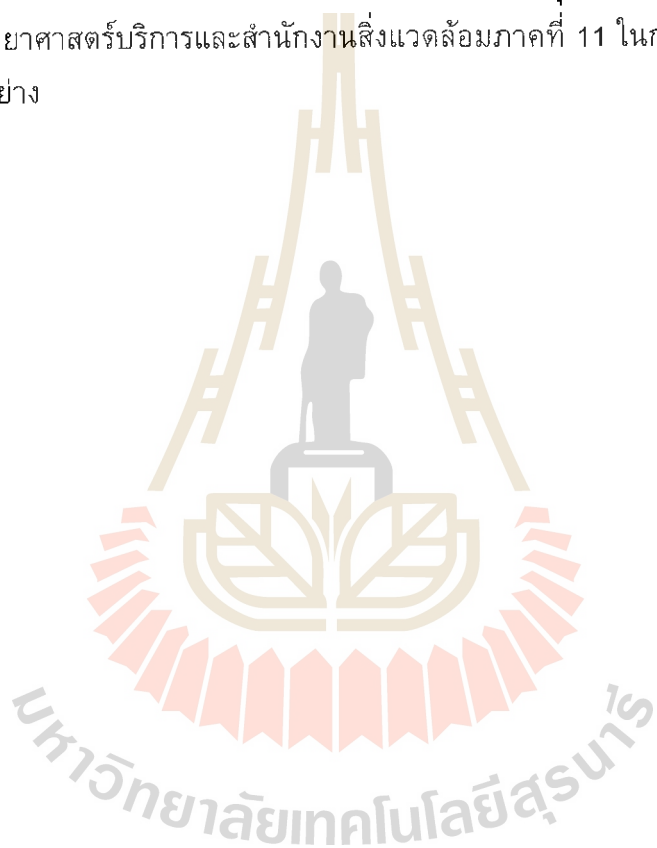
ได้รับทุนสนับสนุนการวิจัยจากมหาวิทยาลัยเทคโนโลยีสุรนารี ปีงบประมาณ พ.ศ.2548

ผลงานวิจัยเป็นความรับผิดชอบของหัวหน้าโครงการวิจัยแต่เพียงผู้เดียว

พฤษภาคม 2552

กิตติกรรมประกาศ

โครงการวิจัย “การพัฒนาวิชีวิเคราะห์ก่อสู่มินทรีย์かるบอนและกาลุ่มชาตุкар์บอนในตัวอย่างผู้นับถือศาสนาคริสต์ในอิสราเอล” ได้รับการสนับสนุนงบประมาณจากมหาวิทยาลัยเทคโนโลยีสุรนารี ที่ประสงค์ให้อาจารย์มีผลงานและสร้างความเข้มแข็งด้านงานวิจัยภายใต้การบริหารจัดการของสถาบันวิจัยและพัฒนา ผู้วิจัยจึงขอขอบคุณที่ให้การสนับสนุนให้การดำเนินงานด้วยดีเสมอมา รวมทั้งการสนับสนุนเครื่องมือวิเคราะห์จากศูนย์เครื่องมือวิทยาศาสตร์และเทคโนโลยี และการช่วยเหลืออย่างดีของคุณนงนภัส โฆษณาศิริกุล และขอขอบคุณกรมวิทยาศาสตร์บริการและสำนักงานสิ่งแวดล้อมภาคที่ 11 ในการอำนวยความสะดวกในการเก็บตัวอย่าง



บทคัดย่อ

งานวิจัยนี้มีวัตถุประสงค์หลักเพื่อพัฒนาวิธีวิเคราะห์องค์ประกอบของสารกลุ่มอินทรีย์และชาตุкар์บอนในฝุ่นขนาดเล็ก PM_{10} ในบรรยากาศด้วยเครื่องอิลิเมนโทโลนาไอลเซอร์ของศูนย์เครื่องมือวิทยาศาสตร์และเทคโนโลยี มหาวิทยาลัยเทคโนโลยีสุรนารี ตัวอย่างฝุ่นละอองขนาดเล็กจากพื้นที่กรุงเทพฯ ถูกใช้เป็นตัวอย่างสำหรับพื้นที่ที่มีมลพิษอากาศจากฝุ่นละอองสูง ตัวอย่างจากพื้นที่เทศบาลนครนครราชสีมาใช้สำหรับพื้นที่ที่มีระดับของฝุ่นละอองปานกลาง

กระบวนการของวิเคราะห์ชนิด Pallflex Tissuequartz 2500QAT-UP ให้เก็บตัวอย่างฝุ่นละอองขนาดเล็ก PM_{10} และตัวอย่างถูกแบ่งเป็นสองส่วนสำหรับการวิเคราะห์แบบใช้น้ำหนักเป็นเกณฑ์และการใช้พื้นที่เป็นเกณฑ์ ทั้งนี้ สารคาร์บอนมาตรฐานปริมาณต่ำถูกใช้เป็นเกณฑ์อ้างอิงในการเปรียบเทียบปริมาณของคาร์บอนที่วิเคราะห์ได้ ซึ่งเครื่องอิลิเมนโทโล อนาไอลเซอร์เหมาะสมกับการวิเคราะห์ตัวอย่างฝุ่นละอองที่มีปริมาณคาร์บอนค่อนข้างสูง (กรุงเทพฯ) เพราะลักษณะของเครื่องมือที่นิยมใช้กับตัวอย่างที่มีความเข้มข้นในระดับที่สูงกว่าการปนเปื้อนในสิ่งแวดล้อม ทั้งนี้ ระดับคาร์บอนในฝุ่นละอองที่ทำการวิเคราะห์มีปริมาณคาร์บอนหั้งหมดไม่เกินร้อยละ 4 ของตัวอย่าง โดยตัวอย่างจากพื้นที่เทศบาลนครนครราชสีมา มีปริมาณคาร์บอนหั้งหมดไม่เกินร้อยละ 1.5 ของตัวอย่าง

ความสัมพันธ์ของวิธีวิเคราะห์ทั้งสองวิธีพบว่า ปริมาณคาร์บอนหั้งหมด (TC) จากพื้นที่กรุงเทพฯ มีความสัมพันธ์กันในระดับสูง ($r^2 = 0.91, p < 0.05$) แต่ตัวอย่างที่ได้จากพื้นที่เทศบาลนครราชสีมา เมื่อวิเคราะห์ด้วยหั้งสองวิธีมีความสัมพันธ์กันในระดับปานกลาง ($r^2 = 0.54, p > 0.05$) สำหรับการวิเคราะห์เปรียบเทียบปริมาณชาตุкар์บอน (EC) จากการวิเคราะห์ด้วยน้ำหนักและพื้นที่ เป็นเกณฑ์พบว่า ตัวอย่างจากสองพื้นที่ คือ กรุงเทพฯ และเทศบาลนครนครราชสีมาที่วิเคราะห์ด้วยสองวิธีมีความสัมพันธ์กันในระดับสูง ($r^2 = 0.99, p < 0.05$) การวิเคราะห์ปริมาณอินทรีย์คาร์บอน (OC) จากการวิเคราะห์ด้วยน้ำหนักและพื้นที่เป็นเกณฑ์พบว่า ตัวอย่างที่ได้จากพื้นที่กรุงเทพฯ มีความสัมพันธ์กันในระดับสูง ($r^2 = 0.86, p < 0.05$) แต่ตัวอย่างที่ได้จากพื้นที่เทศบาลนครนครราชสีมา มีความสัมพันธ์กันในระดับต่ำ ($r^2 = 0.45, p > 0.05$)

ความสัมพันธ์ของวิธีวิเคราะห์สำหรับปริมาณชาตุкар์บอนอยู่ในระดับดีมากสำหรับตัวอย่างจากหั้งสองพื้นที่ ซึ่งแสดงให้เห็นว่า คาร์บอนที่มีความคงตัว (ชาตุкар์บอน) จะเหมาะสมกับการวิเคราะห์ด้วยเครื่องอิลิเมนโทโล อนาไอลเซอร์มากกว่าอินทรีย์คาร์บอนที่กระบวนการวิเคราะห์ต้องผ่านการให้ความร้อนกับตัวอย่างในระดับประมาณ 350 องศาเซลเซียสในตู้ให้ความร้อนก่อนที่จะนำเข้าเครื่องวิเคราะห์ ส่งผลให้เกิดความคลาดเคลื่อนกับปริมาณอินทรีย์คาร์บอนที่ถูกกำหนดออกก่อนได้ง่าย

คำสำคัญ

ฝุ่นละอองขนาดเล็ก PM_{10} , อินทรีย์คาร์บอน, ชาตุкар์บอน, อิลิเมนโทโลนาไอลเซอร์, มลพิษอากาศ

Abstract

Development of organic and elemental carbon analyses in fine particulate matter by elemental analyzer

Major objective of this research is to develop analytical techniques for the analysis of organic and elemental carbonaceous fractions in fine particulate matter employing an elemental analyzer at Center for Science and Technology Equipment, Suranaree University of Technology. High concentrations of particulate samples from Bangkok and Nakhon Ratchasima Municipality were used in this work.

Pallflex Tussuequartz 2500QAT-UP was used to collect fine particulate matter according to sampling protocol. Filters preparation involved the division of the filters into two sections. First section was submitted for carbonaceous analysis based on specific weight. Second section was analyzed as area basis. Quantitative analysis of carbon derived from low level reference material and protocol of the elemental analyzer. The results showed that the analyzer was applicable for high carbon-contained samples (Bangkok samples) due to the design of the analyzer used in quantified elements such as carbon and nitrogen. Concentrations of carbon from samples were not exceed 4% but samples from Nakhon Ratchasima were less than 1.5% of carbon in samples.

Total carbon (TC) from Bangkok samples showed high correlation when analyzed with both area- and weight-based techniques ($r^2 = 0.91$, $p < 0.05$) while correlation of both techniques was fair for samples from Nakhon Ratchasima Municipality ($r^2 = 0.54$, $p > 0.05$). In fact, elemental carbon (EC) from all samples were well correlated for both techniques ($r^2 = 0.99$, $p < 0.05$). When analyzed with both techniques, samples from Bangkok also had relatively high correlation for organic carbon ($r^2 = 0.86$, $p < 0.05$) but poor agreement found for samples from Nakhon Ratchasima Municipality ($r^2 = 0.45$, $p > 0.05$).

Good correlation of elemental carbon analyzes from all samples indicated that relatively stable fraction of carbon (EC) was more applicable for elemental analyzer than organic carbon analysis. A process involved the sample heating at 350°C contributed to error associated with sample preparation process.

Keywords: particulate matter, PM₁₀, organic carbon, elemental carbon, OC/EC, elemental analyzer, air pollution

สารบัญ

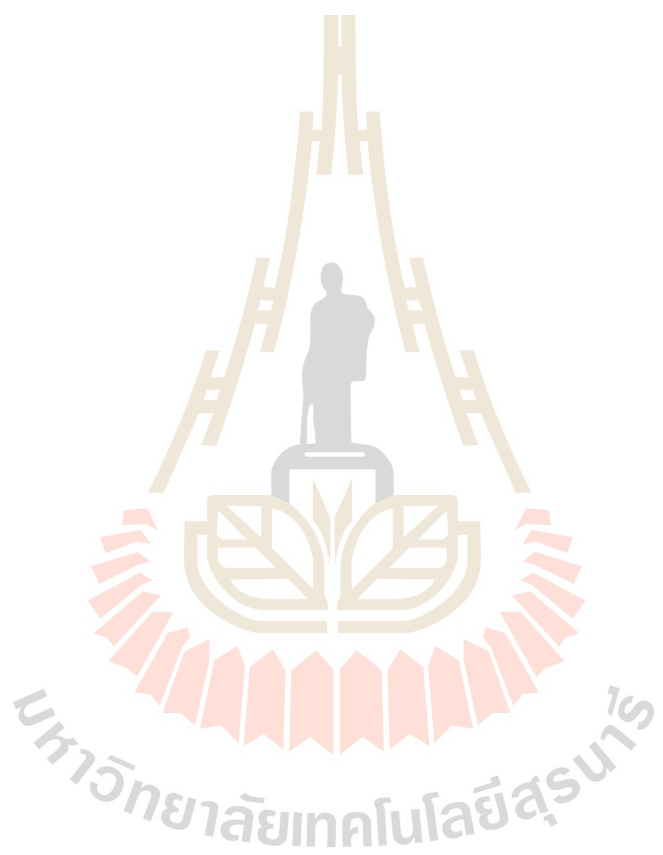
	หน้า
บทที่ 1 บทนำ	1
1.1 ความสำคัญและที่มา	1
1.2 วัตถุประสงค์ของการวิจัย	3
1.3 ประโยชน์ที่คาดว่าจะได้รับและหน่วยงานที่นำผลการวิจัยไปใช้ประโยชน์	3
1.4 ขอบเขตของการวิจัย	3
บทที่ 2 การทบทวนวรรณกรรม	4
2.1 กรอบแนวคิด	4
2.2 สารかるบอนในบรรยายกาศ	5
2.3 องค์ประกอบของสารかるบอนในอนุภาคขนาด微粒	7
2.3.1 ชาติかるบอน (EC)	7
2.3.2 สารอินทรีย์かるบอน (OC)	7
2.4 ผลกระทบของสารかるบอนในอนุภาคขนาด微粒ต่อสิ่งแวดล้อม	8
2.5 วิธีการวิเคราะห์หาสารในกลุ่มかるบอน	8
2.6 กระดาษกรองและการเก็บตัวอย่างฝุ่นและองค์ประกอบคัดขนาดในบรรยายกาศ	9
บทที่ 3 วิธีดำเนินงานวิจัย	12
3.1 พื้นที่เก็บตัวอย่าง	12
3.2 การเก็บตัวอย่างฝุ่นละอองขนาดเล็ก PM ₁₀ ในบรรยายกาศ	12
3.3 การวิเคราะห์ด้วยเครื่องอิลิเมนทอล ออนไลเซอร์	16
3.3.1 การเตรียมตัวอย่าง	17
3.3.2 การวิเคราะห์หาปริมาณかるบอน	18
3.3.2 การควบคุมคุณภาพและการวิเคราะห์ข้อมูล	19
บทที่ 4 ผลการทดลอง	20
บทที่ 5 สรุปและวิจารณ์ผล	37

สารบัญ (ต่อ)

หน้า

เอกสารอ้างอิง

40



สารบัญตาราง

หน้า

ตารางที่ 4.1 ร้อยละของปริมาณการ์บอนทั้งหมด (TC) ด้วยการวิเคราะห์เชิงพื้นที่ของตัวอย่างจากพื้นที่ กทม.	20
ตารางที่ 4.2 ร้อยละของปริมาณการ์บอนทั้งหมด (TC) ด้วยการวิเคราะห์เชิงน้ำหนักของตัวอย่างจากพื้นที่ กทม.	21
ตารางที่ 4.3 ร้อยละของปริมาณการ์บอนทั้งหมด (TC) ด้วยการวิเคราะห์เชิงพื้นที่ของตัวอย่างจากพื้นที่ เทศบาลนครราชสีมา	22
ตารางที่ 4.4 ร้อยละของปริมาณการ์บอนทั้งหมด (TC) ด้วยการวิเคราะห์เชิงน้ำหนักของตัวอย่างจากพื้นที่ เทศบาลนครราชสีมา	23
ตารางที่ 4.5 ร้อยละของปริมาณมาตรฐาน (EC) ด้วยการวิเคราะห์เชิงพื้นที่ของตัวอย่างจากพื้นที่ กทม.	24
ตารางที่ 4.6 ร้อยละของปริมาณมาตรฐาน (EC) ด้วยการวิเคราะห์เชิงน้ำหนักของตัวอย่างจากพื้นที่ กทม.	25
ตารางที่ 4.7 ร้อยละของปริมาณมาตรฐาน (EC) ด้วยการวิเคราะห์เชิงพื้นที่ของตัวอย่างจากพื้นที่ เทศบาลนครราชสีมา	26
ตารางที่ 4.8 ร้อยละของปริมาณมาตรฐาน (EC) ด้วยการวิเคราะห์เชิงน้ำหนักของตัวอย่างจากพื้นที่ เทศบาลนครราชสีมา	26
ตารางที่ 4.9 ร้อยละของปริมาณอินทรีย์การ์บอน (OC) ด้วยการวิเคราะห์เชิงพื้นที่ของตัวอย่างจากพื้นที่ กทม.	27
ตารางที่ 4.10 ร้อยละของปริมาณอินทรีย์การ์บอน (OC) ด้วยการวิเคราะห์เชิงน้ำหนักของตัวอย่างจากพื้นที่ เทศบาลนครราชสีมา	28
ตารางที่ 4.11 ร้อยละของปริมาณอินทรีย์การ์บอน (OC) ด้วยการวิเคราะห์เชิงพื้นที่ของตัวอย่างจากพื้นที่ เทศบาลนครราชสีมา	28
ตารางที่ 4.12 ร้อยละของปริมาณอินทรีย์การ์บอน (OC) ด้วยการวิเคราะห์เชิงน้ำหนักของตัวอย่างจากพื้นที่ เทศบาลนครราชสีมา	30

สารบัญตาราง (ต่อ)

	หน้า
ตารางที่ 4.13 เปรียบเทียบสัดส่วนของราดูคาร์บอนและอินทรีคาร์บอนต่อปริมาณ คาร์บอนทั้งหมดในด้วยอย่างจากพื้นที่กรุงเทพฯ	32
ตารางที่ 4.14 เปรียบเทียบสัดส่วนของราดูคาร์บอนและอินทรีคาร์บอนต่อปริมาณ คาร์บอนทั้งหมดในด้วยอย่างจากพื้นที่เทศบาลนครราชสีมา	32
ตารางที่ 5.1 ค่าเฉลี่ยร้อยละของปริมาณคาร์บอนแต่ละกลุ่มจากด้วยอย่างพื้นที่ กรุงเทพฯ	36
ตารางที่ 5.2 ค่าเฉลี่ยร้อยละของปริมาณคาร์บอนแต่ละกลุ่มจากด้วยอย่างพื้นที่ เทศบาลนครราชสีมา	36



สารบัญรูป

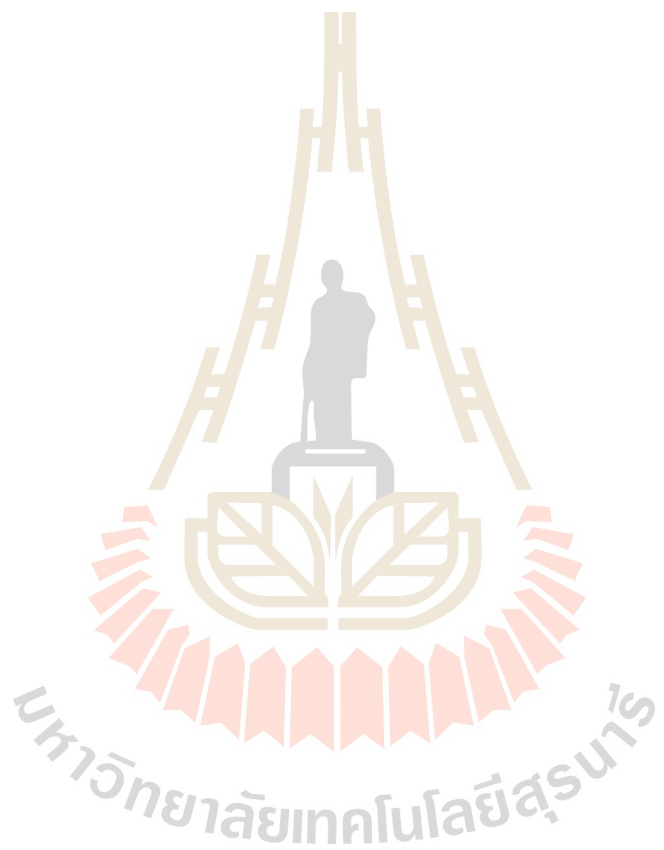
	หน้า
รูปที่ 2.1 กรอบแนวคิดของงานวิจัย	4
รูปที่ 2.2 องค์ประกอบทางเคมีของฝุ่นละอองขนาดเล็ก PM_{10} ที่พบในภาค ตะวันออกของสหรัฐอเมริกา	6
รูปที่ 2.3 องค์ประกอบทางเคมีของฝุ่นละอองขนาดเล็ก PM_{10} ที่พบในภาค ตะวันตกของสหรัฐอเมริกา	6
รูปที่ 3.1 ตำแหน่งเก็บตัวอย่างฝุ่นละอองบริเวณเขตราชเทวี กรุงเทพมหานครฯ (วงกลมดำ)	13
รูปที่ 3.2 การตั้งเครื่องเก็บตัวอย่างบริเวณเขตราชเทวี กรุงเทพมหานครฯ	13
รูปที่ 3.3 ตำแหน่งเก็บตัวอย่างฝุ่นละอองบริเวณเทศบาลนครนครราชสีมา (วงกลมดำ)	14
รูปที่ 3.4 การตั้งเครื่องเก็บตัวอย่างบริเวณเทศบาลนครนครราชสีมา	14
รูปที่ 3.5 เครื่องมือปรับเทียบอัตราการไหลของอากาศ Reference flow device	15
รูปที่ 3.6 เครื่องชั่งกระดาษกรอง Sartorius รุ่น LA130S-F	16
รูปที่ 3.7 เครื่องอัลิเมนทอลอนไลเซอร์ของศูนย์เครื่องมือวิทยาศาสตร์ฯ	17
รูปที่ 3.8 ลักษณะการแบ่งกระดาษกรองที่ใช้ในการวิเคราะห์ด้วยความร้อน	18
รูปที่ 4.1 การเปรียบเทียบปริมาณคาร์บอนทั้งหมด (TC) ของตัวอย่างจากพื้นที่ กรุงเทพฯ	33
รูปที่ 4.2 การเปรียบเทียบปริมาณคาร์บอนทั้งหมด (TC) ของตัวอย่างจากพื้นที่ เทศบาลนครราชสีมา	34
รูปที่ 4.3 การเปรียบเทียบปริมาณมาตรฐาน (EC) ของตัวอย่างจากพื้นที่กรุงเทพฯ	34
รูปที่ 4.4 การเปรียบเทียบปริมาณมาตรฐาน (EC) ของตัวอย่างจากพื้นที่ เทศบาลนครราชสีมา	35
รูปที่ 4.5 การเปรียบเทียบปริมาณอินทรีย์คาร์บอน (OC) ของตัวอย่างจากพื้นที่ กรุงเทพฯ	35

สารบัญรูป (ต่อ)

หน้า

รูปที่ 4.6 การเปรียบเทียบปริมาณอินทรีย์การ์บอน (OC) ของตัวอย่างจากพื้นที่
เทศบาลนครราชสีมา

36



บทที่ 1

บทนำ

1.1 ความสำคัญและที่มา

การศึกษาด้านระบบวิทยาสิ่งแวดล้อมในเรื่องคุณภาพอากาศที่มีความเชื่อมโยงกับปัญหาสุขภาพของประชาชนในหลายประเทศทั่วโลกให้ข้อสังเกตค่อนข้างสอดคล้องกันว่า ปริมาณของฝุ่นละอองในบรรยากาศมีความสัมพันธ์อย่างมีนัยสำคัญทางสถิติกับอัตราการป่วย อัตราการเข้ารับการรักษาพยาบาล รวมถึงอัตราการเสียชีวิตของประชาชนในหลายเมืองของสหรัฐอเมริกา (Pope *et al.*, 1995; Reichhardt, 1995; William *et al.*, 2000) เม็กซิโก (Borja-Abrutto *et al.*, 1997) ชิลี (Ostro *et al.*, 1995) ยุโรป (Janssen *et al.*, 2000; Abu-allaban *et al.*, 2002) ไต้หวัน (Chen and Wang, 1997) ทั้งนี้ความรุนแรงของปัญหานี้เพิ่มมากขึ้นในประชากรกลุ่มที่มีโรคของทางเดินหายใจอยู่แล้ว เช่น ผู้มีโรคประจำตัวเกี่ยวกับระบบทางเดินหายใจ หอบหืด เป็นต้น (Schwartz and Dockery, 1992; Delfino *et al.*, 1994; U.S. EPA, 2004) กลุ่มเสี่ยงอีกกลุ่มหนึ่งที่สำคัญคือเด็กและคนชรา สำหรับประเทศไทย ฝุ่นละอองในบรรยากาศมีความสัมพันธ์ระหว่างอัตราการเสียชีวิตของประชากรในพื้นที่กรุงเทพมหานคร Ostro *et al.*, (1999) ศึกษาข้อมูลย้อนหลัง (ระหว่างปี พ.ศ. 2535-2539) พบว่า ปริมาณฝุ่นขนาดเล็กในบรรยากาศมีความสัมพันธ์กับอัตราการเสียชีวิตของประชากรในกรุงเทพฯ โดยปริมาณฝุ่นขนาดเล็กที่เพิ่มขึ้น 10 มคก.ต่อลบม. จะมีส่วนสัมพันธ์กับสาเหตุการเสียชีวิตตามธรรมชาติ (Natural mortality), การเสียชีวิตจากปัญหาระบบททางเดินหายใจ (Respiratory mortality) และการเสียชีวิตจากปัญหาระบบทัวใจและสูบฉีดโลหิต (Cardiovascular mortality) โดยมีอัตราเพิ่มขึ้นร้อยละ 1-2, 3-6, และ 1-2 ตามลำดับ

ฝุ่นละอองในบรรยากาศเป็นมลพิษอากาศหลัก (Criteria pollutant) ที่กำหนดไว้ในมาตรฐานคุณภาพอากาศในบรรยากาศของหลายประเทศรวมทั้งประเทศไทย (US.EPA, 2004; กรมควบคุมมลพิษ, 2548) เพื่อป้องกันปัญหาที่เป็นผลกระทบด้านสุขภาพที่อาจเกิดขึ้นได้กับประชาชน โดยกำหนดให้มีปริมาณในหน่วยของน้ำหนักต่อปริมาตรอากาศ เช่น ไม่เกิน 120 มิลลิกรัมต่อลูกบาศก์เมตรในเวลา 24 ชั่วโมง เป็นต้น ปริมาณฝุ่นที่ใช้กำหนดในมาตรฐานคุณภาพอากาศเป็นเพียงตัวแทนของความเป็นพิษที่เกิดขึ้นกับสุขภาพของประชาชน เนื่องจากองค์ประกอบของฝุ่นละอองมีค่อนข้างหลากหลาย เช่น ซัลเฟต ในเตรก ธาตุโลหะบางชนิด เป็นต้น องค์ประกอบที่ಡอกต่าง

กันของฝุ่นทำให้มีการศึกษาทางพิชวิทยาถึงความเป็นพิษขององค์ประกอบชนิดต่าง ๆ ข้อมูลที่ได้จากการพิทักษ์สิ่งแวดล้อมของสหรัฐอเมริกา (U.S. Environmental Protection Agency – U.S.EPA) ให้ความสำคัญของสารในกลุ่มคาร์บอนว่าเป็นสาเหตุหนึ่งของปัญหาสุขภาพของประชาชน เนื่องจาก กลุ่มชาตุкар์บอน (elemental carbon หรือ เชม่า) เป็นสารก่อมะเร็งในสัตว์ทดลอง (Lena *et al.*, 2002; U.S. EPA, 2004)

ปริมาณของกลุ่มอินทรีย์carbonและชาตุкар์บอนมีอยู่ในตัวอย่างฝุ่นละอองในบรรยากาศ ฝุ่นละอองขนาดเล็กอาจมีสารในกลุ่มนี้มากถึงร้อยละ 40 ในเขตเมืองและพื้นที่อุตสาหกรรม อนุภาคของสารcarbonในบรรยากาศที่เพิ่มขึ้นตามกิจกรรมของมนุษย์มีผลกระทบกับการถ่ายทอดพลังงานของรังสีจากดวงอาทิตย์ (Jacobson, 2001; IPCC, 2001) ผลกระทบต่อสุขภาพที่มีต่อประชากรทั่วไป (William *et al.*, 2000; WHO, 2005; Pope and Dockery, 2006) รวมถึงกลุ่มที่ผู้สูงอายุและเด็ก (Maisonet *et al.*, 2004) และปฏิกรณ์เคมีของสารมลพิษอากาศในบรรยากาศ (Watson, 2002; Bond *et al.*, 2004) อนุภาคของชาตุкар์บอน (Elemental carbon) ในบรรยากาศกำลังเป็นปัญหา เพราะเป็นองค์ประกอบของมลพิษในบรรยากาศลำดับที่สองรองจากก๊าซ carbon ไดออกไซด์ที่มีผลต่อสภาพโลกร้อนในประเด็นของอิทธิพลต่อบรรยากาศโดยตรงหรือ direct forcing ในระดับ 0.8 ± 0.4 วัตต์ต่อตร.ม. (IPCC, 2001) ปัญหาฝุ่นละอองในบรรยากาศของประเทศไทยเกิดบ่อยครั้งมากขึ้นในช่วงเวลา 2-3 ปีที่ผ่านมาจนกลายเป็นประเด็นข่าวสู่สาธารณะ เพราะผลกระทบต้านสุขภาพ เช่น ปัญหาหมอกควันจากไฟไหม้ป่าจากประเทศอินโดนีเซีย ปัญหาหมอกควันปกคลุมในภาคเหนือบริเวณจังหวัดแม่ฮ่องสอน เชียงใหม่ ลำพูน (กรมควบคุมมลพิษ, 2548)

การวิเคราะห์ด้านมลพิษอากาศหาปริมาณของกลุ่มcarbonอินทรีย์ (OC) และกลุ่มชาตุкар์บอน (EC) ที่มีอยู่ในตัวอย่างฝุ่นตามวิธีขององค์กรพิทักษ์สิ่งแวดล้อมของสหรัฐอเมริกาและนักวิจัยในต่างประเทศ ซึ่งความต้องการวิเคราะห์หาสารอินทรีย์carbonและชาตุкар์บอนในฝุ่นละอองสำหรับการศึกษาด้านคุณภาพอากาศในประเทศไทยกำลังเพิ่มมากขึ้น และปัญหาปริมาณฝุ่นขนาดเล็กเกินมาตรฐานไม่จำกัดอยู่แต่ในพื้นที่กรุงเทพฯ อีกด้อไป เมืองหลักในต่างจังหวัด เช่น นครราชสีมา เชียงใหม่ พิษณุโลก กำลังมีปัญหาฝุ่นขนาดเล็กเกินมาตรฐาน ซึ่งอาจก่อให้เกิดอันตรายต่อประชาชนในพื้นที่ (กรมควบคุมมลพิษ, 2547) แต่ขีดความสามารถในการวิเคราะห์สารอินทรีย์carbonและชาตุкар์บอนในฝุ่นละอองค่อนข้างจำกัด ที่ผ่านมาโครงการศึกษาด้านมลพิษอากาศต้องส่งตัวอย่างไปริเวราห์ที่สหรัฐอเมริกา (Radiant International LLC, 1998) ทำให้เกิดอุปสรรคและค่าใช้จ่ายที่เพิ่มสูงขึ้น ซึ่งผลการศึกษาของ Chuersuwan (1996) พบว่าการวิเคราะห์หาปริมาณของสารcarbonในฝุ่นละอองด้วยวิธีการให้ความร้อนสามารถทำได้ด้วยเครื่องมือที่มีส่วนประกอบของส่วนให้ความ

ร่อน ระบบนำกําช และอุปกรณ์รับสัญญาณ เครื่องมือประเกทอิลิเมนಥอลอนาไอลเซอร์ (Elemental analyzer) ที่มีการใช้ความร้อนเผาตัวอย่างเพื่อหาปริมาณในโตรเจน คาร์บอน ซัลเฟอร์ ไฮโดรเจน และอ๊อกซิเจน ซึ่งเป็นเครื่องมือที่ใช้หลักการที่คล้ายคลึง กับเครื่อง Thermal/Optical (แต่ไม่มีการใช้เลเซอร์) มีใช้อยู่ในประเทศไทย รวมทั้งที่ ศูนย์เครื่องมือวิทยาศาสตร์และเทคโนโลยี มหาวิทยาลัยเทคโนโลยีสุรนารี

1.2 วัตถุประสงค์ของการวิจัย

- 1.2.1 เพื่อศึกษาความเป็นไปได้ในการวิเคราะห์องค์ประกอบสารกลุ่มอินทรีย์carbон และกลุ่มธาตุcarบอนในผุนขนาดเล็กด้วยเครื่องอิลิเมนಥอลอนาไอลเซอร์
- 1.2.2 เพื่อศึกษาประสิทธิภาพของเครื่องอิลิเมนಥอลอนาไอลเซอร์ในการวิเคราะห์ ปริมาณของสารกลุ่มอินทรีย์carbونและกลุ่มธาตุcarบอนในผุนขนาดเล็ก
- 1.2.3 เพื่อพัฒนาวิธีการวิเคราะห์องค์ประกอบสารกลุ่มอินทรีย์carbونและกลุ่มธาตุ carbونในผุนขนาดเล็กด้วยเครื่องอิลิเมนಥอลอนาไอลเซอร์

1.3 ประโยชน์ที่คาดว่าจะได้รับ และหน่วยงานที่นำผลการวิจัยไปใช้ประโยชน์

- 1.3.1 สนับสนุนการศึกษาหาสัดส่วนของแหล่งกำเนิดฝุ่นเพื่อการจัดการคุณภาพอากาศ (กรมควบคุมมลพิษ กรมวิทยาศาสตร์บริการ สถาบันการศึกษา ระดับอุดมศึกษา ศูนย์พัฒนาความเป็นเลิศด้านมลพิษอากาศ มหาวิทยาลัย เทคโนโลยีสุรนารี)
- 1.3.2 ใช้สร้างฐานข้อมูลขององค์ประกอบฝุ่นประเทศไทยในด้านคุณภาพอากาศ (กรม ควบคุมมลพิษ กรมวิทยาศาสตร์บริการ สถาบันการศึกษาระดับอุดมศึกษา ศูนย์พัฒนาความเป็นเลิศด้านมลพิษอากาศ มหาวิทยาลัยเทคโนโลยีสุรนารี สำนักงานกองทุนสนับสนุนการวิจัย)
- 1.3.3 เพื่อประยุกต์ใช้ในงานบริการวิชาการและศึกษาวิจัยด้านคุณภาพอากาศ (ศูนย์ พัฒนาความเป็นเลิศด้านมลพิษอากาศ ศูนย์เครื่องมือวิทยาศาสตร์และ เทคโนโลยี สำนักวิชาแพทยศาสตร์ มหาวิทยาลัยเทคโนโลยีสุรนารี)

1.4 ขอบเขตของการวิจัย

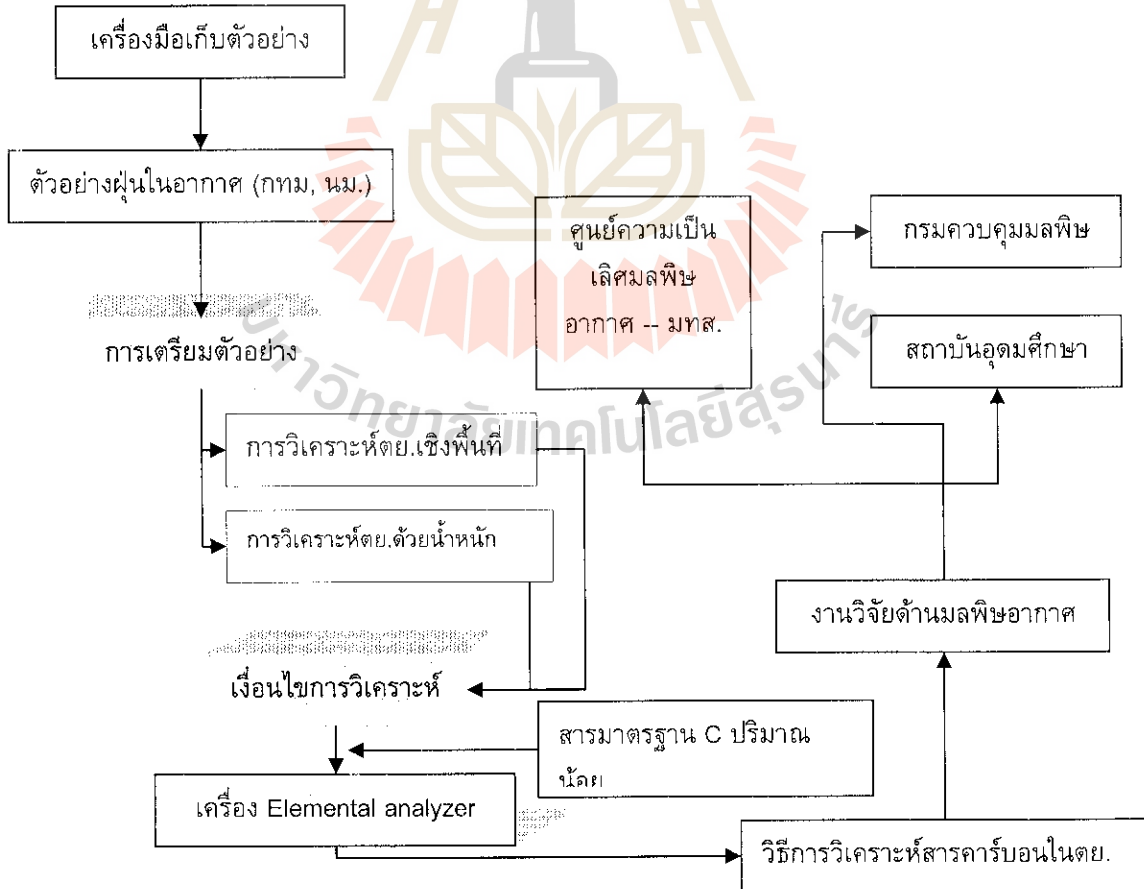
การวิจัยทำการศึกษาองค์ประกอบของสารcarบอนในตัวอย่างฝุ่นละอองในบรรยากาศ จากสองพื้นที่ที่มีระดับความเข้มข้นต่างกัน คือ ตัวอย่างฝุ่นละอองของกรุงเทพมหานครฯ ที่ มีปริมาณฝุ่นละอองสูง และเทศบาลนครราชสีมาที่มีปริมาณฝุ่นละอองต่ำกว่า โดยการ วิเคราะห์ทำการหาปริมาณcarบอนในสองกลุ่ม คือ ธาตุcarบอนและสารอินทรีย์ด้วย เครื่องมือ อิลิเมนಥอลอนาไอลเซอร์ของมหาวิทยาลัยเทคโนโลยีสุรนารี

บทที่ 2

การทบทวนวรรณกรรม

2.1 กรอบแนวคิด

การศึกษาเพื่อหารวิธีควบคุมปัญหามลพิษอากาศ โดยเฉพาะปัญหาฝุ่นละอองที่เกินค่ามาตรฐานคุณภาพอากาศของประเทศไทย จำเป็นต้องใช้การวิเคราะห์ทางกลประกอบด้วย เครื่องมือที่มีหลักการทำงานคล้ายคลึงกันจึงเป็นหนทางที่จะช่วยแก้ไขปัญหานี้ได้ ที่มีอยู่ในปัจจุบัน อย่างไรก็ตาม การประยุกต์ใช้เครื่องมือให้เหมาะสมกับลักษณะของตัวอย่างจำเป็นต้องผ่านการทดลอง (รูปที่ 2.1) เพื่อแสดงให้เห็นถึงความสามารถและประสิทธิภาพก่อนนำไปใช้งานจริงกับงานด้านมลพิษอากาศที่หน่วยงานที่เกี่ยวข้องกำลังดำเนินการแก้ไขปัญหา เช่น พื้นที่หน้าพระลาน จ.สระบุรี พื้นที่อุตสาหกรรม จังหวัดสมุทรปราการ เป็นต้น



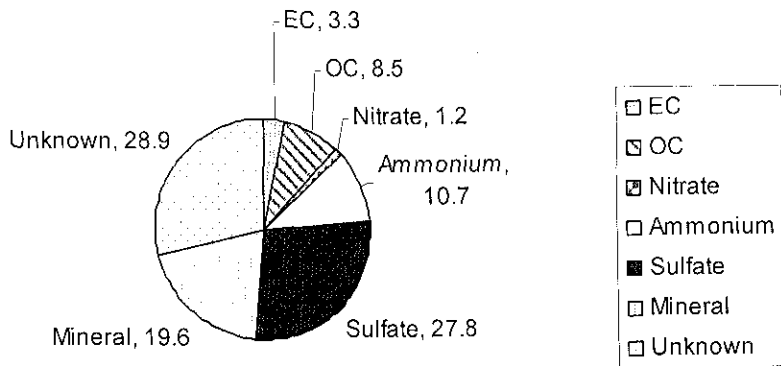
รูปที่ 2.1 กรอบแนวคิดของงานวิจัย

2.2 สารคาร์บอนในบรรยากาศ

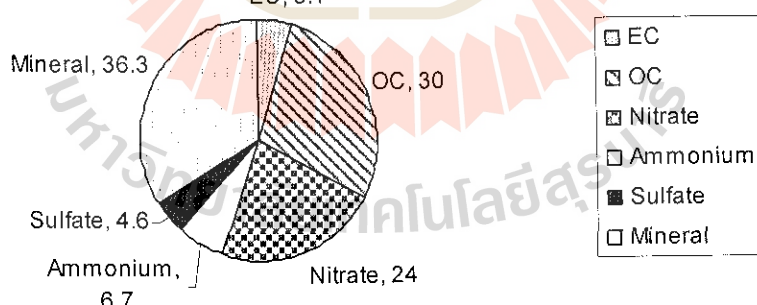
อนุภาคสารคาร์บอนในบรรยากาศ (Carbonaceous aerosol) ได้รับความสนใจในงานวิจัยด้านวิทยาศาสตร์ของบรรยากาศ (Atmospheric sciences) ซึ่งส่วนหนึ่งมีสาเหตุมาจากศักยภาพของสารคาร์บอนที่ส่งผลกระทบต่อการเปลี่ยนแปลงภูมิอากาศของโลก (Climate effect potential) มีผลต่อการมองเห็น (Visibility) ทั้งนี้ อนุภาคสารคาร์บอนมีความสามารถทำให้แสงที่ส่องผ่านในชั้นบรรยากาศระเงิงได้ดี จึงทำให้ลดระดับของการมองเห็นลงได้ สารคาร์บอนยังมีองค์ประกอบที่เป็นอันตรายต่อสุขภาพ ซึ่งอาจเป็นแบบมีผลเฉียบพลันหรือเรื้อรัง เนื่องจากมีขนาดของอนุภาคที่สามารถเข้าสู่ทางเดินหายใจได้ (Seemayer et al., 1994) เป็นผลมาจากการปล่อยสารมลพิษอากาศออกสู่บรรยากาศโดยธรรมชาติและจากกิจกรรมของมนุษย์ นอกจากนี้สารคาร์บอนยังเป็นองค์ประกอบที่มีสัดส่วนสูงในองค์ประกอบของฝุ่นละอองในบรรยากาศ (Gelencsér, 2004)

ด้วยเหตุที่องค์ประกอบของสารคาร์บอนมีความซับซ้อนและมีความหลากหลายมาก การวิเคราะห์หาสารคาร์บอนในตัวอย่างฝุ่นละอองจึงมีทั้งการหาปริมาณและชนิดของสารประกอบคาร์บอน ความซับซ้อนขององค์ประกอบทำให้มีการจำแนกสารคาร์บอนออกเป็นกลุ่มหลัก คือ กลุ่มธาตุคาร์บอน (Elemental carbon -- EC) และอินทรีย์คาร์บอน (Organic carbon -- OC) แต่บางครั้งมีการ分วากลุ่มคาร์บอนเนต (Carbonate) เข้ามาด้วยเนื่องจากเป็นส่วนหนึ่งของสารคาร์บอนเช่นกัน แต่มีได้มีอิทธิพลกับองค์ประกอบของฝุ่นและผลกระทบต่อสุขภาพมากนัก จึงมักจะไม่นับรวมในงานวิจัยเกี่ยวกับสารคาร์บอนในบรรยากาศ (Atmospheric carbonaceous aerosol) โดยปริมาณของสารคาร์บอนทั้งหมด (Total carbon – TC) มักจะหมายถึง ธาตุคาร์บอนและสารอินทรีย์คาร์บอน

องค์ประกอบทางเคมีของอนุภาคแขวนลอยในอากาศมีความแตกต่างในสถานที่และเวลา โดยการวิเคราะห์ทางเคมีของอนุภาคขนาด 2.5 μm ครอบคลุมตัววันออกของสหรัฐอเมริกา แสดงให้เห็นว่าปริมาณร้อยละ 47 ของน้ำหนักเป็นแอมโมเนียมซัลเฟต ในขณะที่สารคาร์บอนมีปริมาณร้อยละ 25 ของน้ำหนัก ที่เหลือเป็นองค์ประกอบอื่น (รูปที่ 2.2) ส่วนขององค์ประกอบทางเคมีของอนุภาคแขวนลอยในอากาศที่พบในภาคตะวันตกของสหรัฐอเมริกามีสารคาร์บอนเป็นองค์ประกอบมากกว่าครึ่ง คือปริมาณร้อยละ 53 ของน้ำหนัก ในขณะที่แอมโมเนียมซัลเฟตและองค์ประกอบอื่นมีปริมาณร้อยละ 15 - 16 ของน้ำหนัก (รูปที่ 2.3) นอกจากนี้ องค์ประกอบบางชนิดที่ยังไม่อาจระบุได้ (Unknown) มีค่อนข้างสูงในอนุภาคแขวนลอยที่พบในภาคตะวันออกของสหรัฐอเมริกา (US.EPA, 1996)



รูปที่ 2.2 องค์ประกอบทางเคมีของฝุ่นละอองขนาดเล็ก PM_{10} ที่พบในภาคตะวันออกของ
สหรัฐอเมริกา



รูปที่ 2.3 องค์ประกอบทางเคมีของฝุ่นละอองขนาดเล็ก PM_{10} ที่พบในภาคตะวันตกของ
สหรัฐอเมริกา

2.3 องค์ประกอบของสารคาร์บอนในอนุภาคแขวนลอย

2.3.1 ชาตุкар์บอน (EC)

ชาตุкар์บอนเป็นคำที่ใช้เรียกสารคาร์บอนในรูปของการบ่อนที่ได้จากการวิเคราะห์ด้วยความร้อนและการวิเคราะห์ทางเคมีแบบเปียก (Wet chemistry) ซึ่งสืบให้เห็นว่าเป็นองค์ประกอบที่เป็นส่วนที่มีเพียงคาร์บอนเท่านั้น บางครั้งซึ่งคำที่ใช้เรียกชาตุкар์บอนยังอาจสื่อถึงกราไฟต์кар์บอน (Graphitic carbon) ชาตุкар์บอนในผู้และของแขวนลอยเป็นองค์ประกอบที่มีผลต่อการดูดกลืนแสงในช่วงความยาวคลื่นที่มองเห็นได้ (Visible wavelengths) ด้วยศักยภาพในการดูดกลืนแสงจึงทำให้ชาตุкар์บอนในอนุภาคแขวนลอยมีผลต่อสมดุลความร้อนของบรรยากาศโลก (Benner et al., 1989) ทั้งนี้ ชาตุкар์บอนเป็นตัวการสำคัญลำดับที่สองที่มีผลต่อการเปลี่ยนแปลงบรรยากาศของโลกรองจากกําชาร์บอนไดออกไซด์ (Zhang et al., 2005).

กระบวนการเผาไหม้เป็นแหล่งกำเนิดสำคัญของชาตุкар์บอนในอนุภาคแขวนลอย ปกติชาตุкар์บอนจะไม่ถูกเปลี่ยนแปลงเป็นสารชนิดอื่นในบรรยากาศ ทำให้ชาตุкар์บอนถูกใช้เป็นตัวชี้ของการปล่อยมลพิษจากการเผาไหม้ (Combustion emission) ในประเทศจีนตอนเหนือพบว่าชาตุкар์บอนมีสัดส่วนสูงถึงร้อยละ 40 – 50 ของนำหนักคาร์บอนทั้งหมด (Sue et al., 1989)

2.3.2 สารอินทรีย์кар์บอน (OC)

สารอินทรีย์кар์บอนที่พบในอนุภาคแขวนลอยมีที่มาจากการแหล่งกำเนิดที่ค่อนข้างหลากหลาย เช่น แหล่งกำเนิดจากธรรมชาติที่เป็นละอองเกสรขนาดเล็ก หรือสารชีวภาพแขวนลอยขนาดเล็ก ซึ่งอนุภาคแขวนลอยอาจไม่ได้มาจากธรรมชาติทั้งหมดในตัวของอนุภาคเอง แต่อาจเป็นละอองเกลือขนาดเล็กที่ถูกหล่อรอบด้วยสารชีวภาพหรือเป็นสารอินทรีย์เคมีในสถานะกําชแล้วควบแน่นบนอนุภาค แหล่งกำเนิดจากการกระทำของมนุษย์เกิดได้จากการปล่อยมลพิษแบบตั้งใจและไม่ตั้งใจ เป็นต้น ผลการจำลองเหตุการณ์เกี่ยวกับการปล่อยสารอินทรีย์кар์บอนในจีนและอินเดียในช่วง 20 ปีที่ผ่านมาพบว่า อาจมีส่วนทำให้เกิดภาวะความแห้งแล้งมากขึ้นในต้นหน้าของจีนและทำให้เกิดน้ำท่วมมากขึ้นในตอนใต้ของจีนในช่วงฤดูร้อน (Menon et al., 2002)

แหล่งกำเนิดอนุภาคแขวนลอยที่เป็นสารอินทรีย์кар์บอนในบรรยากาศที่เกิดจากธรรมชาติมีการรายงานในช่วงทศวรรษปี ค.ศ. 1970 (Schnell and Vali, 1972) ซึ่งมีอิทธิพลเป็นแกนกลางของอนุภาคน้ำแข็งในบรรยากาศ และงานบางส่วนได้จากการใช้กล้องขยายอิเลคตรอนส่องดูลักษณะของอนุภาคที่มีรูปร่างคล้ายกับเข็มหมุดที่อาจมีขนาดความยาวได้ถึง 200 นาโนเมตร และกว้างได้ถึง 30 นาโนเมตร ด้วยการที่สารอินทรีย์кар์บอนมีแหล่งที่หลากหลาย ทำให้ค่อนข้างจะซับซ้อนในการจำแนกว่าเป็นสารชนิดใด

หรือมาจากการแคลงกำเนิดได้ รวมทั้ง การจำแนกโมเลกุลให้ได้ชนิดของสารอินทรีย์คาร์บอน ที่พบในอนุภาคสารแขวนลอยในบรรยากาศทำได้เพียงประมาณร้อยละ 5 - 10 เท่านั้น เช่น ประมาณ 809 ชนิดของสารอินทรีย์คาร์บอนถูกจำแนกจากกิจกรรมของการปูรุ่งเนื่อง ด้วยความร้อน (Meat cooking) ด้วยเครื่องก้าช์โครมาโดยกราฟฟี่ (Rogge et al., 1991) แต่กิจกรรมของมุชย์มีค่อนข้างหลากหลายและซับซ้อน ดังนั้น การวิเคราะห์หาปริมาณ ของสารอินทรีย์คาร์บอนในอนุภาคแขวนลอยในบรรยากาศจึงมักทำในรูปของสารอินทรีย์ คาร์บอนทั้งหมดมากกว่า

2.4 ผลกระทบของสารคาร์บอนในอนุภาคแขวนลอยต่อสิ่งแวดล้อม

สารคาร์บอนในอนุภาคแขวนลอยส่วนหนึ่งมีแหล่งกำเนิดจากการเผาไหม้ไม่สมบูรณ์ เช่น การใช้น้ำมันเชื้อเพลิงในการเผาไหม้ การปล่อยจากท่อไอเสียของยานพาหนะ การเผาถ่าน ไฟป่า (Castro et al., 1999; Stoffyn-Egli et al., 1997) แต่แหล่งกำเนิดประเภทที่ไม่มีการเผาไหม้ ถูกจัดเป็นแหล่งของสารคาร์บอนในอนุภาคแขวนลอยด้วย เช่น เศษของสารคาร์บอนจาก สิ่งมีชีวิตที่หลุดออกสู่บรรยากาศ (Grosjean, 1992; Rogge et al., 1993; Hildemann et al., 1996; Schauer et al., 1996).

อนุภาคแขวนลอยในบรรยากาศมีผลโดยอ้อมต่อสมดุลการแพร่องสีและพลังงานระหว่างโลก และบรรยากาศ (Indirect forcing) ด้วยการเข้าไปเกี่ยวข้องกับปริมาณเมฆและค่าอัลบีโอดของ เมฆ (Cloud albedo) (Penner et al., 2001) การที่อนุภาคแขวนลอยในบรรยากาศมีมากทำให้ ไปเพิ่มจำนวนแกนกลางที่มีผลต่อการก่อตัวของเมฆ (Cloud condensation nuclei – CCN) รวมทั้งไปเชื่อมโยงกับการลดลงของขนาดอนุภาคของเมฆที่เหมาะสม (Effective cloud droplet radius) ซึ่งทำให้มีก้อนเมฆกระจายไม่รวมเป็นก้อนใหญ่ส่งผลต่อการเกิดของฝน

2.5 วิธีการวิเคราะห์หาสารในกลุ่มคาร์บอน

วิธีการวิเคราะห์หาสารคาร์บอนในอนุภาคสารแขวนลอยได้ถูกพัฒนาขึ้นสำหรับวิเคราะห์หา สารอินทรีย์คาร์บอน ชาตุかるบอนและคาร์บอนเนตคาร์บอน การวิเคราะห์หาคาร์บอนเนตคาร์บอน ทำได้ด้วยการทำให้เป็นกรด (Acidification) ด้วยกรดฟอสฟอริก หรือกรดเกลือ 1% เพื่อให้เกิด กําชคาร์บอนไดออกไซด์ขึ้น การทำลักษณะนี้จะกำจัดคาร์บอนเนตอินทรีย์ออกไป เช่น แคลเซียมคาร์บอนเนต แมgnีเซียมคาร์บอนเนต เป็นต้น กําชคาร์บอนไดออกไซด์จะถูกเรติว์ส์เป็น มีเรนและทำการวัดด้วยเฟรมไออกไนเซชัน (Flame ionization detector) อย่างไรก็ตาม การ วิเคราะห์หาคาร์บอนเนตคาร์บอนในอนุภาคสารแขวนลอยไม่นิยมทำเนื่องจากเป็นองค์ประกอบที่ มีปริมาณค่อนข้างน้อยประมาณร้อยละ 5 เมื่อเปรียบเทียบกับปริมาณคาร์บอนทั้งหมด (Chow et al., 1993). จากการรายงานที่มีตัวอย่างหลายวิธี

การวิเคราะห์สารคาร์บอนรวม (Total carbon – TC) ในตัวอย่างฝุ่นที่เก็บบนกระดาษ 用於進行分析的工具為「演化氣體分析」(Evolved gas analysis – EGA)。此方法能同時測量多種物質，並能準確地測量不同物質的濃度。EGA 的原理是將樣品置於高溫環境中，使其中的有機物質發生熱解反應，釋放出各種氣體，這些氣體的組成和濃度可以透過分析儀來測量，從而推斷樣品的化學成分。

สำหรับการวิเคราะห์สารอินทรีย์carbon และธาตุcarbon จะชั้บช้อนกว่า เนื่องจากจุดเปลี่ยนหรือช่วงต่อที่จะใช้ระบุความแตกต่างในช่วงของการวิเคราะห์ระหว่างสารcarbonทั้งสองชนิดนี้ทำได้ยากและเป็นอุปสรรคมาก โดยเป็นปัญหาใหญ่สำหรับการวิเคราะห์ปริมาณของธาตุcarbon เพราะเป็นองค์ประกอบส่วนน้อยกว่าสารอินทรีย์carbon ในตัวอย่างฝุ่นละอองที่พบในบรรยากาศ

การวิเคราะห์ด้วยความร้อนโดยการออกซิเดส์ด้วยแมงกานีส (Thermal manganese oxidation) เป็นการใช้ตัวอย่างในเตาที่บรรจุด้วยแมงกานีสไดออกไซด์ที่ให้ความร้อนในช่วง 500 – 850 องศาเซลเซียส ตัวอย่างเกิดเป็นก้าชcarbon ไดออกไซด์ในอุณหภูมิต่ำกว่า 525 องศาเซลเซียส จัดเป็นสารอินทรีย์carbon และส่วนที่อยู่ในช่วง 525 – 850 องศาเซลเซียส จัดเป็นธาตุcarbon ทั้งนี้ ก่อนการวิเคราะห์นิยมกำจัดcarbonบนออกก่อนด้วยการหยดกรด และให้ความร้อนที่อุณหภูมิประมาณ 120 องศาเซลเซียส

บริษัทของกลุ่มcarbonอินทรีย์ และกลุ่มธาตุcarbonในตัวอย่างฝุ่นตามวิธีขององค์กรพิทักษ์สิ่งแวดล้อมของสหรัฐอเมริกาและนักวิจัยในต่างประเทศ คือ วิธี การให้ความร้อนและ/หรือใช้การดูดซับแสงเป็นอุปกรณ์หลักร่วมกับ Flame Ionization Detector หรือ Non-dispersive Infrared (Watson et al., 2001; U.S.EPA, 2004) การให้ความร้อนกับกระดาษกรองสามารถทำได้เป็นระดับด้วยการเพิ่มอุณหภูมิในระดับ 340 องศาเซลเซียส เพื่อไล่สารอินทรีย์carbonบนออกมา ก่อนเพิ่มอุณหภูมิจนถึง 750 ถึง 1200 องศาเซลเซียส เพื่อเผาไหม้ธาตุcarbon ส่วนที่เหลือ (Aulagnier et al., 2001; Matsumoto et al., 2003) ส่วนเครื่องมือที่ใช้แสงได้แก่ เครื่อง Aethalometer ที่ใช้สำหรับตรวจหาธาตุcarbonบนกระดาษกรองประดิษฐ์โดย Hansen, A.D. ได้รับสิทธิบัตรของประเทศไทยเลข 4893934 เมื่อปี ค.ศ. 1990 ทำงานโดยใช้แสงส่องผ่านฝุ่นละอองบนกระดาษcarbonซึ่งสามารถหาปริมาณธาตุcarbonได้อย่างต่อเนื่อง

2.6 กระดาษกรองและการเก็บตัวอย่างฝุ่นละอองแบบคัดขนาดในบรรยากาศ

ปกติกระดาษกรองที่ใช้เก็บตัวอย่างสำหรับการวิเคราะห์สารcarbon ด้วยการให้ความร้อน จะใช้กระดาษควอทซ์บริสุทธิ์ (high-purity quartz) เนื่องจากสามารถทนความร้อนได้สูง และกระดาษกรองชนิดนี้ไม่ใช้สารอินทรีย์เป็นตัวบันยิดเส้นใย (binder) ซึ่งมีประสิทธิภาพในการดักฝุ่นละอองขนาดเส้นผ่าศูนย์กลางมากกว่า 30 นาโนเมตรได้สูงเกือบร้อยละ 100 (Gelencsér,

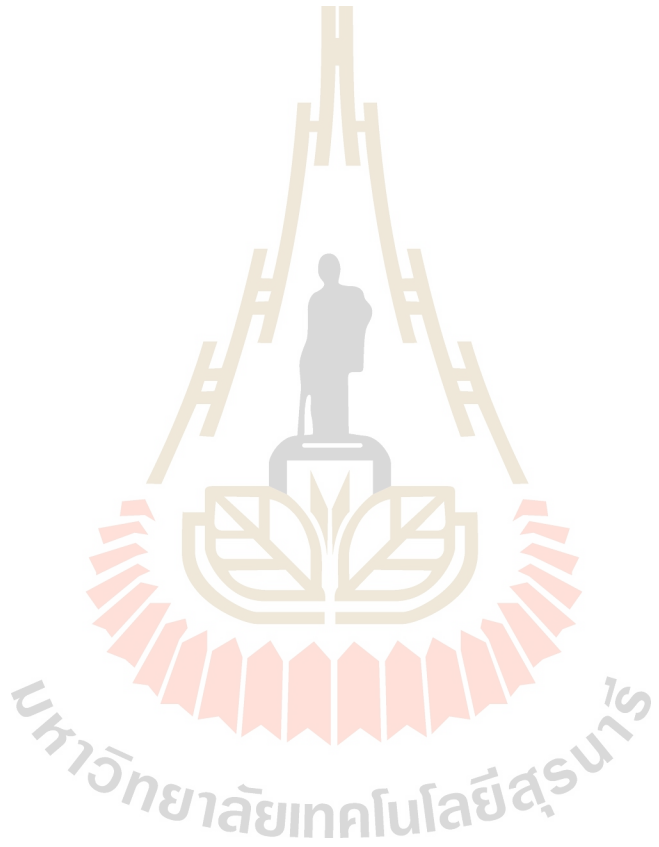
2004) และมีค่าความหนาแน่นของกระดาษกรองประมาณ 6.5 มิลลิกรัมต่อตารางเซนติเมตร แต่พื้นผิวของกระดาษกรองสามารถเป็นตัวดูดซับได้ดี (Turpin, et al., 1994) การเตรียมกระดาษกรองก่อนเก็บตัวอย่างด้วยการอบที่อุณหภูมิสูง ซึ่งปกติอยู่ในช่วงประมาณ 500 – 700 องศาเซลเซียส จะช่วยลดปริมาณสารอินทรีย์ที่ถูกดูดซับในกระดาษกรองได้ โดยเฉพาะกับน้ำและก๊าซในกลุ่มของสารอินทรีย์ที่ระเหยง่าย (Semi-volatile organic species)

ฝุ่นละอองขนาดเล็กในบรรยากาศมีหน่วยวัด คือ น้ำหนักของฝุ่นละอองต่อปริมาตรของอากาศที่เข้าสู่เครื่องมือตรวจวัด การใช้ระบบของน้ำหนักหรือกราวิเมตريค (Gravimetric) เป็นวิธีการดั้งเดิมมากกว่า 70 ปีในสหรัฐอเมริกา (Herrick and Smith, 2003) ดังแต่ในช่วงปี พ.ศ. 2463-2473 (ค.ศ.1920s) ที่ใช้ถ้วยวัดฝุ่นตก (Dust fall jar) ขนาดเส้นผ่าศูนย์กลางประมาณ 19.05 ซม. สูง 20.32 ซม. ตั้งทิ้งไว้ในพื้นที่ตรวจวัดซึ่งจะให้ค่าในรูปของน้ำหนักฝุ่นที่ตกลงสู่พื้นต่อหน่วยพื้นที่ตามหน่วยเวลา เช่น ตันต่อตารางกิโลเมตรต่อเดือน เป็นต้น เครื่องมือได้รับการพัฒนาขึ้นให้มีกลไกที่เหมาะสมกับวัดฝุ่นละอองแขวนลอยในบรรยากาศ เนื่องจากถ้วยวัดฝุ่นตกใช้ได้กับฝุ่นที่มีน้ำหนักและมีแนวโน้มตกลงสู่พื้นโลกได้ง่าย และใช้เวลาค่อนข้างนานทำให้ข้อมูลยังตอบสนองต่อการนำไปใช้ประโยชน์ เช่น การบังคับใช้กฎหมาย การประเมินผลกระทบต่อสุภาพระยะสั้นทำได้ไม่ทันการณ์ เป็นต้น

การเก็บตัวอย่างอนุภาคสารแขวนลอยในบรรยากาศทำได้ด้วยเครื่องมือพื้นฐานที่ใช้บ่มดูดอากาศผ่านกระดาษกรอง ตัวอย่างจะถูกดักบนกระดาษกรองตามระยะเวลาที่กำหนด ซึ่งปกติใช้เวลาประมาณ 24 ชั่วโมงเพื่อใช้เปรียบเทียบกับค่ามาตรฐานคุณภาพอากาศในบรรยากาศทั่วไป เครื่องมือที่ใช้เป็นมาตรฐานในปัจจุบันเป็นเครื่องเก็บตัวอย่างบริมารตรสูง (High volume air sampler) ทั้งนี้ การเก็บตัวอย่างอาจเป็นแบบแยกอนุภาคได้ด้วย (Size selection) เช่น ฝุ่นรวม (Total suspended particles – TSP) ฝุ่นขนาดเล็กกว่า 10 ไมครอน (PM_{10}) เป็นต้น

สำหรับเครื่องมือเก็บตัวอย่างฝุ่นละอองแขวนลอยในบรรยากาศที่เป็นมาตรฐานตามกฎหมายของไทยกำหนดไว้โดยกรมควบคุมมลพิษ (2547) จะคล้ายกับเครื่องมือที่กำหนดไว้ของ US.EPA โดยส่วนใหญ่เป็นเครื่องมือเก็บตัวอย่างอากาศที่มีปั๊มดูดอากาศ ฝุ่นละอองแขวนลอยจะถูกดักจับบนกระดาษกรอง โดยปริมาตรอากาศถูกวัดกำหนดใช้เครื่องวัดปริมาตรอากาศ เช่น ช่องเปิดขนาดเล็ก (Orifice) อุปกรณ์ควบคุมชนิดอัตราการไหล (Flow controller) เป็นต้น หรือเครื่องวัดระบบเทียบเท่า (Equivalent) ได้แก่ ระบบเบต้าเร (Beta Ray) ระบบเทป เป้อ อิลเม็น ออสซิเลตติ้ง ไมโครบาลานซ์ (Tapered Element Oscillating Microbalance) และระบบไดโคโตมัส (Dichotomous) ฝุ่นละอองแขวนลอยขนาดเล็กหรือฝุ่นขนาดเล็กกว่า 10 ไมครอน มีมาตรฐานของกรมควบคุมมลพิษ (2547) และมาตรฐานของ U.S. EPA 450 (U.S. EPA, 1996) ใช้เครื่องเก็บตัวอย่างแบบบริมารตรสูง (High volume sampler) โดยมีหลักการทำงานคือ อากาศถูกดูดผ่านหัวคัดขนาดสำหรับฝุ่นละอองขนาดเล็กกว่า 10 ไมครอน และผ่านแผ่นกรองหรือกระดาษกรองขนาด 8 นิ้ว x 10 นิ้ว ซึ่งมีประสิทธิภาพในการกรองฝุ่นละออง

ขนาด 0.3 ไมครอน ได้ร้อยละ 99 ก่อนการเก็บตัวอย่าง กระดาษกรองจะต้องผ่านการซึ่งน้ำหนัก ส่วนหน้าและนำไปซึ่งอีกครั้งเมื่อเสร็จสิ้นการเก็บตัวอย่างด้วยเครื่องซึ่งในห้องปฏิบัติการ แล้วหา น้ำหนักผุ่นและของจากแผ่นกรอง และคำนวณหาความเข้มข้นของผุ่นและของขนาดเล็กเทียบกับ ปริมาตรอากาศทั้งหมดที่ตรวจวัด ระยะเวลาเก็บตัวอย่างผุ่นในบรรยายอากาศกำหนดไว้ 24 ชั่วโมง เพื่อใช้เปรียบเทียบกับค่ามาตรฐานได้



บทที่ 3

วิธีดำเนินงานวิจัย

งานวิจัยนี้เป็นการวิจัยเชิงทดลองด้านคุณภาพอากาศที่เกี่ยวข้องกับการใช้เครื่องมือเก็บตัวอย่างฝุ่นละอองในบรรยากาศและการวิเคราะห์ลักษณะของตัวอย่างด้านปริมาณควันในห้องปฏิบัติการ วิธีการดำเนินงานวิจัยมีรายละเอียดดังนี้

3.1 พื้นที่เก็บตัวอย่าง

พื้นที่เก็บตัวอย่างกำหนดจากการทบทวนข้อมูลคุณภาพอากาศในพื้นที่เมืองของกรุงเทพมหานคร ที่มีระดับของฝุ่นละอองแตกต่างกันไปตามพื้นที่ คือ พื้นที่กรุงเทพมหานครฯ มีระดับมลพิษอากาศในบางพื้นที่ค่อนข้างสูงโดยเฉพาะฝุ่นละอองเกินค่าเฉลี่ย 24 ชั่วโมงที่กำหนดไว้ไม่เกิน 120 มิลลิกรัมต่อลูกบาศก์เมตร ซึ่งเป็นค่ามาตรฐานคุณภาพอากาศในบรรยากาศทั่วไป เช่น บริเวณริมถนน (กรมควบคุมมลพิษ, 2548) ซึ่งเป็นปัญหาทางมลพิษอากาศที่เกิดจากการจราจร พื้นที่ของจังหวัดในภูมิภาค คือ นครราชสีมา ที่พบว่ามีปัญหาฝุ่นละอองแพร่กระจายในบรรยากาศเกินค่ามาตรฐานฯ ในบางครั้ง พื้นที่เก็บตัวอย่างที่ต่างกันจะเอื้อให้ได้ตัวอย่างที่จะใช้ทำการทดลองมีระดับความเข้มข้นของปริมาณฝุ่นละอองที่ต่างกันด้วย ซึ่งเป็นผลดีกับการวิเคราะห์หาปริมาณชาตุคาร์บอนและอินทรีย์คาร์บอนที่หลากหลายมากขึ้น

พื้นที่เก็บตัวอย่างบริเวณกรุงเทพมหานครฯ เลือกใช้สถานี 01C บริเวณถนนพระรามที่ 9 เขตราชเทวี มีตำแหน่งพิกัด UTM คือ X665311 Y1522144 ซึ่งเป็นบริเวณใกล้เคียงกับสถานีตรวจวัดคุณภาพอากาศแบบทางของกรมควบคุมมลพิษ (รูปที่ 3.1 และ 3.2) ส่วนสถานีในเทศบาลนครราชสีมา เป็นพื้นที่ห่างจากถนนมิตรภาพประมาณ 800 เมตร ตั้งอยู่ตำบลในเมือง อําเภอเมือง มีตำแหน่งพิกัด UTM คือ X 187896 Y1658233 (รูปที่ 3.3 และ 3.4)

3.2 การเก็บตัวอย่างฝุ่นละอองขนาดเล็ก PM_{10} ในบรรยากาศ

ขั้นตอนการเก็บตัวอย่างฝุ่นละอองแพร่กระจายด้วยเครื่องเก็บตัวอย่างแบบปริมาตรสูง มีการควบคุมคุณภาพที่สำคัญ (QC) คือ การสอบเทียบอัตราการไหลของอากาศสำหรับเครื่องมือเก็บตัวอย่างฝุ่นในบรรยากาศชนิดอัตราการดูดอากาศสูง การปรับสภาพกระดาษกรองรวมทั้งการซั่งกระดาษกรอง และการเก็บรักษากระดาษกรอง ซึ่งดำเนินการตามวิธีมาตรฐานของ U.S. EPA ที่มีการสอบเทียบอัตราการไหลของอากาศด้วยเครื่องมือปรับเทียบที่เรียกว่า Reference flow device (ReF) ดังรูปที่ 3.5



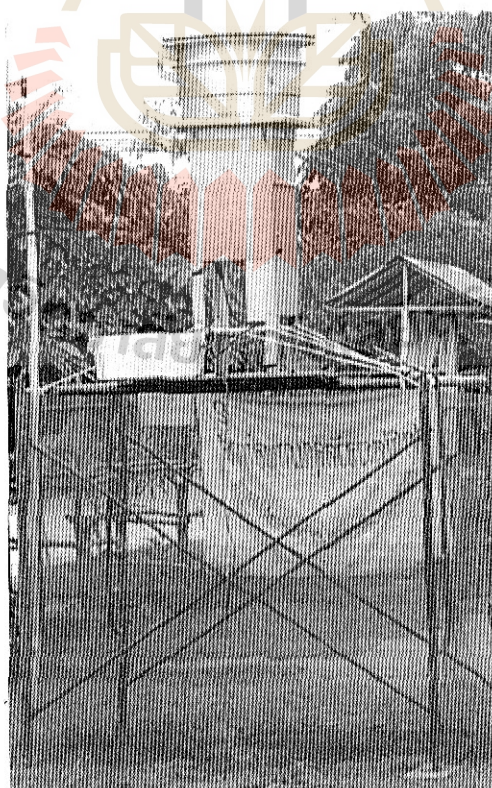
รูปที่ 3.1 ตำแหน่งเก็บตัวอย่างพื้นดินของบริเวณเขตราชเทวี กรุงเทพมหานครฯ (วงกลมดำ)



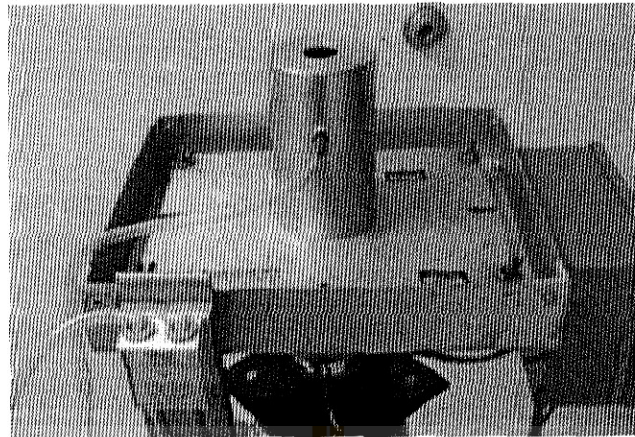
รูปที่ 3.2 การตั้งเครื่องเก็บตัวอย่างบริเวณเขตราชเทวี กรุงเทพมหานครฯ



รูปที่ 3.3 ตำแหน่งเก็บตัวอย่างผุนละอองบริเวณเทศบาลนครราชสีมา (วงกลมดำ)



รูปที่ 3.4 การตั้งเครื่องเก็บตัวอย่างบริเวณเทศบาลนครราชสีมา

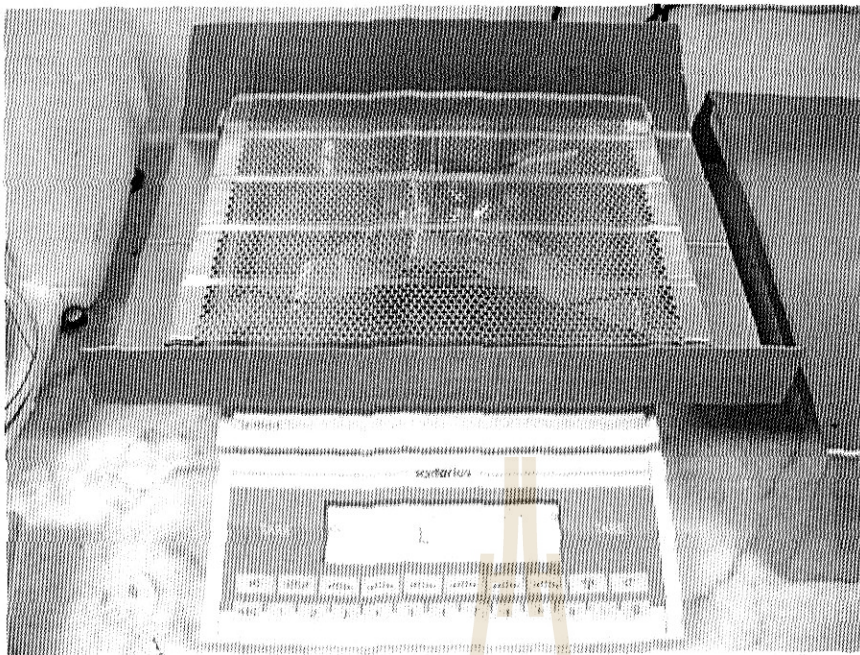


รูปที่ 3.5 เครื่องมือปรับเทียบอัตราการไหลของอากาศ Reference flow device

กระดาษกรองความชื้น มีการปรับสภาพ (Equilibration) ก่อนและหลังการเก็บตัวอย่าง ซึ่งเป็นชนิด Pallflex Tissuequartz 2500QAT-UP ขนาด 8"X10" ทั้งนี้ ก่อนการใช้งาน กระดาษกรองจะนำเข้าเตาเผาที่อุณหภูมิประมาณ 650°C เพื่อกำจัดสารตกค้างซึ่งเป็นส่วนหนึ่งของการควบคุมคุณภาพการทำงาน ก่อนนำไปปรับสภาพในตู้ควบคุมความชื้นภายในห้องซึ่งเป็นเวลาไม่น้อยกว่า 24 ชม. ก่อนทำการซั่งน้ำหนักกระดาษกรองเปล่าด้วยเครื่องซั่ง Sartorius รุ่น LA130S-F มีค่าการอ่านน้ำหนักละเอียดได้ในระดับ 0.1 มก. (รูปที่ 3.6) การซั่งทำซ้ำ 3 ครั้ง โดยกำหนดให้มีค่าความแตกต่างไม่เกิน 1 มก. กระดาษกรองที่ผ่านการซั่งแล้วนำไปใช้เก็บตัวอย่างต่อไป และกระดาษกรองที่ผ่านการเก็บตัวอย่างแล้วจะนำกลับมาเข้าตู้ควบคุมความชื้นภายในห้องซึ่งเป็นเวลาไม่น้อยกว่า 24 ชม. ก่อนทำการซั่งน้ำหนัก ภายใต้เงื่อนไขเดียวกับการซั่งน้ำหนักก่อนเก็บตัวอย่าง ค่าความแตกต่างของกระดาษกรองจะเป็นข้อมูลน้ำหนักของฝุ่นที่เก็บตัวอย่างได้ (มก) กระดาษกรองที่ผ่านการซั่งน้ำหนักจะเก็บในตู้แข็งที่อุณหภูมิไม่เกิน 4°C ระหว่างรอการวิเคราะห์หาปริมาณมาตรฐานและอินทรีคาร์บอนเพื่อป้องกันการสูญเสียของปริมาณของตัวอย่างในรูปของอินทรีคาร์บอนที่อุณหภูมิห้อง

การเก็บตัวอย่างฝุ่นละอองขนาดเล็ก PM_{10} ใช้เครื่องมือมาตรฐานตามข้อกำหนดของกรมควบคุมมลพิษและ U.S. EPA ที่เป็นเครื่องมือเก็บตัวอย่างแบบปริมาตรสูง (High volume air sampler) โดยทำการเก็บตัวอย่างครั้งละ 24 ชั่วโมง อัตราการดูดอากาศอยู่ในช่วง 1.1 – 1.7 ลบ.ม.ต่อนาที ปริมาตรอากาศจะถูกบันทึกในช่วงที่ทำการตรวจวัดเพื่อนำมาคำนวณหน้าหนักฝุ่นละอองขนาดเล็ก PM_{10} ในบรรยากาศ คือ

(น้ำหนักหลัง – น้ำหนักก่อน)/ปริมาตรอากาศทั้งหมดที่สภาวะมาตรฐาน

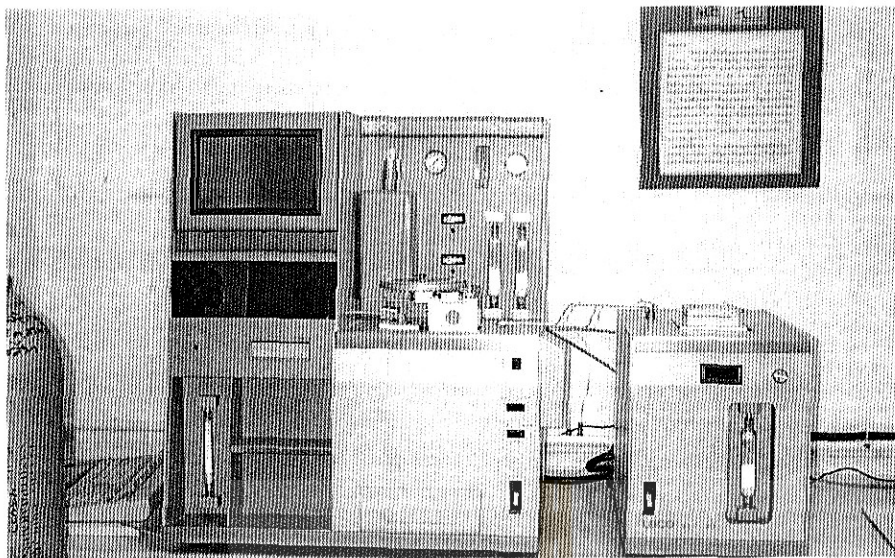


รูปที่ 3.6 เครื่องชั่งกระดาษกรอง Sartorius รุ่น LA130S-F

3.3 การวิเคราะห์สารบอนด้วยเครื่องอิลิเมนทอล อนาคตเชอร์

เครื่องอิลิเมนทอล อนาคตเชอร์ของศูนย์เครื่องมือวิทยาศาสตร์และเทคโนโลยี (รูปที่ 3.7) มหาวิทยาลัยเทคโนโลยีสุรนารี เป็นเครื่องที่ผลิตโดยบริษัท Leco Corporation (USA) หลักการทำงานเป็นการเผาตัวอย่างที่อุณหภูมิสูงตามที่กำหนดทำให้ตัวอย่างเปลี่ยนรูปเป็นก้าชชัน เช่น CO_2 SO_2 เป็นต้น ซึ่งก้าชจะผ่านไปสู่อุปกรณ์ตรวจน้ำด้วยแบบใช้แสงอินฟราเรด (Infrared) ซึ่งจะผ่านอุปกรณ์แปลงสัญญาณไปเปรียบเทียบกับค่าที่ได้ของสารมาตรฐานทำให้สามารถคำนวณหาปริมาณของธาตุที่มีอยู่ในตัวอย่างได้ ทั้งนี้ เครื่องอิลิเมนทอล อนาคตเชอร์ที่ใช้ในการทดลองเป็นเครื่องรุ่น CS-444 ที่ต้องการปริมาณของตัวอย่างไม่สูงมากที่ระดับประมาณ 2 มิลลิกรัม

วิธีการวิเคราะห์หาปริมาณคาร์บอนด้วยเครื่องอิลิเมนทอล อนาคตเชอร์ อาศัยนำหันกของตัวอย่างเป็นพื้นฐานเปรียบเทียบกับปริมาณคาร์บอนในสารมาตรฐาน (Reference material) ซึ่งงานวิจัยนี้พัฒนาวิธีวิเคราะห์เพิ่มเติมให้สอดคล้องกับลักษณะตัวอย่างที่เป็นผุนละอองขนาดใหญ่ในบรรยายภาพที่เก็บอยู่บนกระดาษกรองควอทซ์ ด้วยการใช้พื้นที่กำหนดขนาดของตัวอย่างเปรียบเทียบกับการใช้น้ำหนัก เนื่องจากการจำกัดพื้นที่คาดว่าจะทำให้การเตรียมตัวอย่างเพื่อการวิเคราะห์ทำได้สะดวกมากขึ้น และจะทำให้ได้ตัวอย่างที่ไม่อิงกับน้ำหนักของกระดาษกรองที่อาจหนาหรือบางไม่เท่ากันตลอดทั้งแผ่น รวมทั้งเลือกใช้สารบอนมาตรฐานที่มีปริมาณคาร์บอนต่ำ (0.7%) ซึ่งจะช่วยให้สามารถได้ผลการวิเคราะห์ในระดับต่ำลงได้ นอกจากนี้ การวิเคราะห์จะทำการจำแนกปริมาณธาตุคาร์บอนและสารอินทรีย์คาร์บอนออกจากกันด้วยการกำจัดสารอินทรีย์คาร์บอนออกจากความร้อน



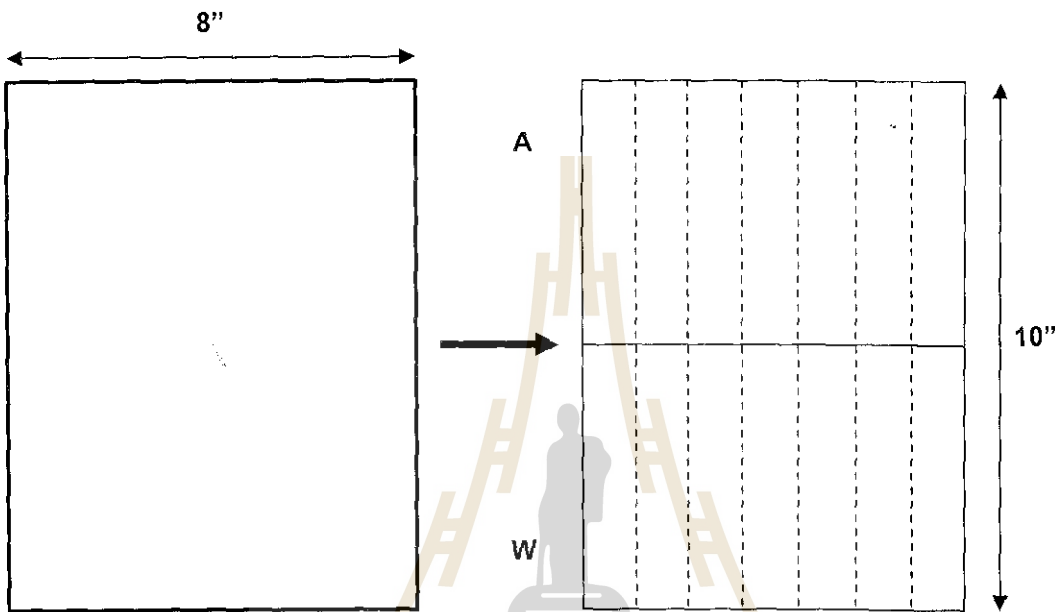
รูปที่ 3.7 เครื่องอัลเมทอลอนาไลเซอร์ของคุณย์เครื่องมือวิทยาศาสตร์ฯ

ปกติการวิเคราะห์ห้าปริมาณคาร์บอนด้วยเครื่องอัลเมทอลอนาไลเซอร์จะเป็นการทำ
การบอนกั้งหมด การประยุกต์ใช้เครื่องมือในงานวิจัยนี้อาศัยการเตรียมตัวอย่างด้วยการทำจัด
อินทรีย์คาร์บอนออกด้วยความร้อน (หัวข้อ 3.3.1) และทำการวิเคราะห์ตามขั้นตอนดังของ
เครื่องมือ ซึ่งการวิเคราะห์ในลักษณะนี้จะทำให้ได้ข้อมูลเพิ่มเติมจากการวิเคราะห์แบบทั่วไปที่จะ
ได้เพียงค่าปริมาณคาร์บอนเพียงอย่างเดียว ตัวอย่างจะทำการวิเคราะห์ช้าเพื่อยืนยันผลที่ได้
รายละเอียดของการเตรียมตัวอย่างและการวิเคราะห์มีดังนี้

3.3.1 การเตรียมตัวอย่าง

กระดาษกรองค่าวาทซ์ที่ผ่านการซั่งน้ำหนักและเก็บรักษาที่อุณหภูมิประมาณ 4°C
ถูกนำมาแบ่งเป็นสองส่วน คือ ส่วน A สำหรับการวิเคราะห์แบบพื้นที่ และส่วน W
สำหรับการวิเคราะห์ตัวอย่างน้ำหนัก แต่ละส่วนถูกแบ่งเป็น 7 ส่วนย่อย (รูปที่ 3.8) การ
วิเคราะห์ห้าปริมาณคาร์บอนในตัวอย่างจะแต่ละส่วนจะวิเคราะห์ห้าปริมาณชาติ
คาร์บอนและอินทรีย์คาร์บอน ส่วนที่แบ่งของกระดาษกรองค่าวาทซ์นำไปเข้าเตาอบ
ไฟฟ้าที่อุณหภูมิประมาณ 350°C จะไส้สารกลุ่มอินทรีย์คาร์บอนให้ออกไประบุ ก่อนนำ
ตัวอย่างที่อบแล้วไปวิเคราะห์ห้าปริมาณคาร์บอนที่คงค้างอยู่ (ชาติคาร์บอน) กระดาษ
กรองส่วนที่สองเป็นการวิเคราะห์โดยไม่มีการอบตัวอย่างเพื่อห้าปริมาณคาร์บอน
ทั้งหมดในตัวอย่าง โดยการวิเคราะห์จะเผาตัวอย่างจนถึงอุณหภูมิประมาณ 900°C
ผลต่างที่ได้จากการวิเคราะห์กระดาษกรองส่วนที่หนึ่งและสอง คือ ปริมาณสารกลุ่ม
อินทรีย์คาร์บอน

การวิเคราะห์ด้วยการใช้น้ำหนักของตัวอย่างเป็นเกณฑ์ เป็นการซึ่งตัวอย่างให้มีน้ำหนักที่ระดับประมาณ 2 มิลลิกรัมด้วยเครื่องชั่งไฟฟ้า ส่วนการวิเคราะห์ด้วยพื้นที่เป็นเกณฑ์ เป็นการใช้แท่งเจาะตัวอย่างกระดาษกรองให้มีพื้นที่ประมาณ 1 ตร.ซม. และการวิเคราะห์ตัวอย่างในแต่ละส่วนย่อยทำข้ออย่างน้อย 3 ครั้ง (Triplicate) และวิเคราะห์ด้วยการหักลบกับค่าที่ได้จากการวิเคราะห์ด้วยกระดาษกรองเปล่า (Blank)



รูปที่ 3.8 ลักษณะการแบ่งกระดาษกรองที่ใช้ในการวิเคราะห์ด้วยความร้อน

3.3.2 การวิเคราะห์หาปริมาณคาร์บอน มีขั้นตอนดังนี้

- นำตัวอย่างมาทำการบดและคัดแยกขนาดอนุภาคด้วย Sieve No. 200 mesh
- เปิดบันมอากาศ ถังก๊าซออกซิเจน และก๊าซไฮเดรียม แล้วตรวจสอบระบบก๊าซทั้งหมด
- ทำการเปิดเครื่อง แล้วตรวจสอบระบบต่าง ๆ ภายในเครื่อง จากนั้นก็ทำการอุ่นเครื่อง
- นำแคปซูลเปล่า แล้วปิดปากแคปซูลให้เรียบร้อย จากนั้นนำไปใส่ใน Loading Chamber
- ทำการวิเคราะห์ Blank โดยต้องทำอย่างละ 3 ชั้น และทำการปรับเทียบมาตรฐาน Blank (QC)
- ชั่งสารมาตรฐานอ้างอิงประมาณ 2 มิลลิกรัมใส่ลงในแคปซูล ปิดปากแคปซูลให้เรียบร้อย และนำไปใส่ใน Loading Chamber
- ทำการวิเคราะห์สารมาตรฐานอ้างอิง โดยต้องทำอย่างละ 3 ชั้น และทำการปรับเทียบมาตรฐาน Calibration Standard (QC)

- ชั้งสารตัวอย่างประมาณ 2 มิลลิกรัมใส่ลงในแคปซูล ปิดปากแคปซูลให้เรียบร้อย แล้วนำไปใส่ใน Loading Chamber
- ทำการวิเคราะห์ตัวอย่าง โดยต้องทำอย่างละ 3 ชั้ง
- ผลที่ได้จากการวิเคราะห์ เครื่องจะคำนวณปริมาณคาร์บอนที่วิเคราะห์ได้ เปรียบเทียบกับค่าปริมาณคาร์บอนที่มีอยู่ในสารมาตรฐาน และลบด้วยค่า Blank ออกร

3.3.3 การควบคุมคุณภาพและการวิเคราะห์ข้อมูล

ผลที่ได้จากการวิเคราะห์ด้วยเครื่องมือจะรายงานผ่านเครื่องพิมพ์ (Printer) ในรูปของ ร้อยละคาร์บอนที่มีอยู่ในตัวอย่าง ค่าปริมาณคาร์บอนในสารมาตรฐาน ($0.7 \pm 0.05\%$) และค่า Capsule เป็นตัวบ่งชี้ความคงตัวของเครื่องมือ (Stability) ซึ่งเป็นส่วนหนึ่งของการ ควบคุมคุณภาพการวิเคราะห์ ค่า Blank ของกระดาษกรองควรที่จะนำไปหักออกจากผลที่ ได้ด้วย

ค่าเฉลี่ยและส่วนเบี่ยงเบนมาตรฐานของปริมาณชาตุかる์บอน อินทรีย์かる์บอน จะนำมา คำนวณเปรียบเทียบผลที่ได้จากแต่ละตัวอย่าง ค่า Coefficient of variation (C.V.) จะใช้ เปรียบเทียบให้เห็นลักษณะการกระจายตัวของข้อมูลที่ได้จากการวิเคราะห์แบบใช้น้ำหนัก และใช้พื้นที่เป็นเกณฑ์ รวมทั้งวิเคราะห์ค่าความสัมพันธ์ของทั้งสองวิธีด้วยการหา Coefficient of determination โดยใช้ระดับนัยสำคัญที่ร้อยละ 95

บทที่ 4

ผลการทดลอง

การเก็บตัวอย่างฝุ่นละอองในบรรยากาศด้านการตามขั้นตอนตามที่ระบุไว้ในบทที่ 3 โดยตัวอย่างฝุ่นที่ลະของที่เก็บได้จากพื้นที่กรุงเทพฯ และเทศบาลนครราชสีมา มีจำนวนตัวอย่างพื้นที่ละ 7 ตัวอย่าง สำหรับใช้วิเคราะห์สารคาร์บอนด้วยเครื่องอิลิเมนทอล่อนาไลเซอร์ ซึ่งการวิเคราะห์แบ่งเป็นการใช้พื้นที่ของตัวอย่างและการใช้น้ำหนักเป็นเกณฑ์

ปริมาณฝุ่นขนาดเล็ก PM_{10} ที่ตรวจได้ในพื้นที่กรุงเทพฯ มีค่าอยู่ในช่วง 0.048 – 0.088 มก.ต่อลบ.ม. ส่วนปริมาณเทศบาลนครราชสีมา มีค่าอยู่ในช่วง 0.032 – 0.055 มก.ต่อลบ.ม. ส่วนปริมาณคาร์บอนที่วิเคราะห์ได้รายงานในรูป้อยละของมาตรฐานต่อน้ำหนักเมื่อเปรียบเทียบกับสารคาร์บอนมาตรฐาน (Reference material) ตัวอย่างพื้นที่กรุงเทพฯ มีปริมาณคาร์บอนหั้งหมัดเฉลี่ยที่วิเคราะห์เชิงพื้นที่อยู่ในช่วงร้อยละ 1.63 - 3.77 โดยมีส่วนเบี่ยงเบนมาตรฐานที่ได้อยู่ในช่วงร้อยละ 0.13 – 0.39 (ตารางที่ 4.1) ปริมาณคาร์บอนหั้งหมัดเฉลี่ยที่วิเคราะห์เชิงน้ำหนักอยู่ในช่วงร้อยละ 1.85 – 3.51 โดยมีส่วนเบี่ยงเบนมาตรฐานที่ได้อยู่ในช่วงร้อยละ 0.08 – 0.33 (ตารางที่ 4.2)

ตาราง 4.1 ร้อยละของปริมาณคาร์บอนหั้งหมัด (TC) ด้วยการวิเคราะห์เชิงพื้นที่ของตัวอย่างจากพื้นที่ กทม.

ตัวอย่าง	%TC1	%TC2	%TC3	%TC4	%TC5	%TC6	%TC7	Avg.	SD
กทม.1	1.407	1.636	1.768	1.678	1.91	1.634	1.886	1.89	0.17
	1.793	2.585	2.715	2.826	2.155	2.301	1.941	1.94	0.39
	1.838	2.657	2.804	2.374	2.263	2.129	2.163	2.16	0.33
กทม.2	1.410	1.682	1.761	2.256	2.309	2.022	1.997	2.00	0.32
	1.290	1.842	1.794	2.215	1.591	2.018	2.057	2.06	0.31
	1.284	1.817	1.83	2.173	1.617	1.994	2.063	2.06	0.30
กทม.3	2.214	2.186	2.356	2.213	2.513	2.740	2.650	2.65	0.23
	2.25	2.168	2.190	2.119	2.727	2.717	2.515	2.52	0.26
	2.283	2.248	2.185	2.176	2.724	2.706	2.705	2.71	0.26
กทม.4	3.618	3.731	3.523	3.428	3.870	3.600	3.769	3.77	0.15
	3.563	3.676	3.496	3.399	3.789	3.573	3.714	3.71	0.13
	3.607	3.720	3.535	3.418	3.869	3.620	3.758	3.76	0.15
กทม.5	1.964	1.970	1.539	1.630	1.625	1.915	1.626	1.63	0.19
	1.987	1.966	1.545	1.604	1.620	1.920	1.647	1.65	0.19
	1.969	1.978	1.541	1.616	1.589	1.931	1.656	1.66	0.20

ตาราง 4.1 (ต่อ)

ตัวอย่าง	%TC1	%TC2	%TC3	%TC4	%TC5	%TC6	%TC7	Avg.	SD
กทม.6	3.246	3.237	3.241	3.220	3.899	3.199	3.094	3.09	0.27
	3.227	3.209	3.256	3.189	3.953	3.185	3.119	3.12	0.29
	3.256	3.220	3.190	3.178	3.940	3.257	3.078	3.08	0.29
กทม.7	1.821	1.886	2.375	2.267	2.097	2.309	2.367	2.37	0.23
	1.819	1.914	2.383	2.297	2.081	2.325	2.456	2.46	0.25
	1.796	1.904	2.389	2.291	2.104	2.383	2.408	2.41	0.25

ตาราง 4.2 ร้อยละของปริมาณการบอนทั้งหมด (TC) ด้วยการวิเคราะห์เชิงน้ำหนักของตัวอย่าง
จากพื้นที่ กทม.

ตัวอย่าง	%TC1	%TC2	%TC3	%TC4	%TC5	%TC6	%TC7	Avg.	SD
กทม.1	1.7851	1.8931	2.1061	1.8061	2.2221	1.8541	1.8791	1.94	0.16
	1.6921	1.8471	1.9391	1.8381	1.9221	1.8741	1.8881	1.86	0.08
	1.6091	1.8141	1.8181	1.9131	1.9531	1.9391	1.9151	1.85	0.12
กทม.2	1.9891	1.9821	1.9331	1.9251	1.7891	1.8401	1.8361	1.90	0.08
	2.0271	1.9981	1.8821	1.8751	1.7871	1.9401	1.7661	1.90	0.10
	1.9861	2.0431	1.9491	1.9471	1.8461	1.9551	1.8251	1.94	0.08
กทม.3	2.4301	2.2331	2.0871	2.2001	2.4801	3.5301	3.4221	2.63	0.60
	2.4241	2.2251	2.1531	2.3271	2.5471	3.4691	3.3701	2.65	0.55
	2.4331	2.2551	2.1561	2.2291	2.4801	3.5251	3.3651	2.63	0.57
กทม.4	3.2441	3.6941	3.4251	3.6121	3.5091	3.7041	3.3541	3.51	0.18
	3.2461	3.6801	3.4301	3.6341	3.5451	3.7101	3.3471	3.51	0.18
	3.2041	3.6881	3.4041	3.5971	3.5431	3.7121	3.3191	3.50	0.19
กทม.5	1.8681	2.0741	1.9871	1.8981	2.0631	2.1031	1.6541	1.95	0.16
	1.8791	2.0871	2.0121	1.8821	2.0701	2.0931	1.5921	1.95	0.18
	1.8661	2.0841	2.0271	1.8741	2.0851	2.1001	1.6041	1.95	0.18
กทม.6	3.3791	3.5331	2.7371	3.6221	3.5271	3.4481	3.6741	3.42	0.32
	3.3901	3.5351	2.7101	3.5951	3.5031	3.4071	3.7021	3.41	0.33
	3.3951	3.5071	2.7121	3.6301	3.5221	3.3981	3.7491	3.42	0.33
กทม.7	2.6431	2.4991	2.5451	2.3471	2.4991	2.4661	2.5781	2.51	0.09
	2.6391	2.5071	2.5131	2.2791	2.5561	2.4741	2.5891	2.51	0.12
	2.6501	2.5321	2.5431	2.2741	2.5231	2.4561	2.5871	2.51	0.12

ตัวอย่างจากพื้นที่เทศบาลนครราชสีมา มีปริมาณคาร์บอนหั้งหมดเฉลี่ยที่วิเคราะห์เชิงพื้นที่อยู่ในช่วงร้อยละ 0.19 – 1.37 โดยมีส่วนเบี่ยงเบนมาตรฐานที่ได้อยู่ในช่วงร้อยละ 0.04 – 0.21 (ตารางที่ 4.3) ปริมาณคาร์บอนหั้งหมดเฉลี่ยที่วิเคราะห์เชิงน้ำหนักอยู่ในช่วงร้อยละ 0.43 – 1.46 โดยมีส่วนเบี่ยงเบนมาตรฐานที่ได้อยู่ในช่วงร้อยละ 0.02 – 0.12 (ตารางที่ 4.4)

ตาราง 4.3 ร้อยละของปริมาณคาร์บอนหั้งหมด (TC) ด้วยการวิเคราะห์เชิงพื้นที่ของตัวอย่างจากพื้นที่เทศบาลนครราชสีมา

ตัวอย่าง	%TC1	%TC2	%TC3	%TC4	%TC5	%TC6	%TC7	Avg.	SD
num.1	0.628	0.685	0.726	0.872	0.809	0.634	0.669	0.72	0.09
	0.6346	0.737	0.847	0.931	0.827	0.743	0.79	0.79	0.09
	0.625	0.686	0.813	0.8154	0.853	0.796	0.776	0.77	0.08
num.2	1.236	1.432	1.198	1.291	1.251	1.258	1.291	1.28	0.07
	1.358	1.324	1.321	1.348	1.265	1.28	1.264	1.31	0.04
	1.284	1.272	1.106	1.28	1.334	1.283	1.383	1.28	0.09
num.3	1.219	1.214	1.335	1.248	1.441	1.453	1.703	1.37	0.18
	1.208	1.257	1.315	1.291	1.416	1.456	1.586	1.36	0.13
	1.119	1.224	1.29	1.208	1.486	1.384	1.744	1.35	0.21
num.4	0.869	0.866	0.856	0.982	0.866	0.902	0.898	0.89	0.04
	0.951	0.947	0.801	0.935	0.893	0.926	0.918	0.91	0.05
	0.845	0.804	0.845	0.959	0.839	0.92	0.841	0.86	0.05
num.5	0.23	0.193	0.176	0.215	0.108	0.25	0.131	0.19	0.05
	0.293	0.22	0.219	0.186	0.134	0.211	0.088	0.19	0.07
	0.238	0.173	0.218	0.2454	0.155	0.164	0.113	0.19	0.05
num.6	0.804	0.773	0.928	0.886	0.893	0.839	0.864	0.86	0.05
	0.823	0.805	0.909	0.905	0.915	0.858	0.883	0.87	0.04
	0.819	0.796	0.88	0.941	0.97	0.783	0.894	0.87	0.07
num.7	1.365	1.316	1.349	1.191	1.263	1.261	1.285	1.29	0.06
	1.375	1.31	1.323	1.185	1.284	1.246	1.313	1.29	0.06
	1.389	1.3	1.291	1.197	1.297	1.255	1.307	1.29	0.06

ตาราง 4.4 ร้อยละของปริมาณค่ารับอนทั้งหมด (TC) ด้วยการวิเคราะห์เชิงน้ำหนักของตัวอย่าง
จากพื้นที่เทศบาลนครราชสีมา

ตัวอย่าง	%TC1	%TC2	%TC3	%TC4	%TC5	%TC6	%TC7	Avg.	SD
nm.1	0.9321	0.8831	0.8851	0.8431	0.8571	0.8551	0.8571	0.87	0.03
	0.8721	0.8501	0.8421	0.9421	0.8231	0.8731	0.8951	0.87	0.04
	0.9201	0.8351	0.9291	0.8451	0.8391	0.9301	0.8801	0.88	0.04
nm.2	0.7691	1.0991	0.8721	0.8681	0.9661	1.0431	0.9851	0.94	0.11
	0.8221	1.0671	0.9391	0.9191	0.9451	1.0881	1.0361	0.97	0.09
	0.8371	1.1501	0.8691	0.9081	0.9401	0.9931	0.9731	0.95	0.10
nm.3	1.1301	1.2641	1.2011	0.9188	0.8961	0.8822	0.8841	1.03	0.17
	1.1221	1.2741	1.1201	1.0401	0.9401	0.9301	0.8741	1.04	0.14
	1.1291	1.2771	1.1091	1.0341	0.8721	0.8931	0.9431	1.04	0.15
nm.4	1.0871	1.2731	1.1501	1.3051	1.1561	1.1981	1.0661	1.18	0.09
	1.1001	1.2801	1.1521	1.2821	1.0951	1.1991	1.1061	1.17	0.08
	1.0961	1.2931	1.1531	1.3191	1.1061	1.1901	1.1241	1.18	0.09
nm.5	0.4181	0.4421	0.4171	0.4271	0.4701	0.4141	0.4221	0.43	0.02
	0.4021	0.4441	0.4571	0.4191	0.4681	0.4101	0.4101	0.43	0.03
	0.4361	0.3891	0.4581	0.4261	0.4831	0.4291	0.4381	0.44	0.03
nm.6	1.2541	1.2431	1.3071	1.2581	1.0931	1.1761	0.9731	1.19	0.12
	1.2531	1.1771	1.3241	1.2101	1.1471	1.2051	0.9991	1.19	0.10
	1.1931	1.1801	1.3121	1.2331	1.1131	1.2031	0.9951	1.18	0.10
nm.7	1.3721	1.4771	1.5751	1.4751	1.3631	1.3881	1.5251	1.45	0.08
	1.3891	1.4861	1.6081	1.4661	1.3831	1.3751	1.5061	1.46	0.08
	1.3851	1.4741	1.5901	1.4961	1.3861	1.4061	1.4871	1.46	0.07

การวิเคราะห์หาชาตุคาร์บอนจากตัวอย่างพื้นที่กรุงเทพฯ มีปริมาณชาตุคาร์บอนเฉลี่ยที่ วิเคราะห์เชิงพื้นที่อยู่ในช่วงร้อยละ 0.26 – 1.79 โดยมีส่วนเบี่ยงเบนมาตรฐานที่ได้อยู่ในช่วงร้อยละ 0.00 – 0.08 (ตารางที่ 4.5) ปริมาณชาตุคาร์บอนเฉลี่ยที่วิเคราะห์เชิงน้ำหนักอยู่ในช่วงร้อยละ 0.26 – 1.88 โดยมีส่วนเบี่ยงเบนมาตรฐานที่ได้อยู่ในช่วงร้อยละ 0.00 – 0.01 (ตารางที่ 4.6)

ตาราง 4.5 ร้อยละของปริมาณมาตรฐาน (EC) ด้วยการวิเคราะห์เชิงพื้นที่ของตัวอย่างจากพื้นที่ กทม.

ตัวอย่าง	%EC1	%EC2	%EC3	%EC4	%EC5	%EC6	%EC7	Avg.	SD
กทม.1	0.617	0.614	0.616	0.612	0.617	0.612	0.617	0.62	0.00
	0.637	0.775	0.795	0.856	0.797	0.795	0.615	0.62	0.09
	0.699	0.775	0.797	0.785	0.765	0.616	0.616	0.62	0.08
กทม.1	0.617	0.614	0.616	0.612	0.617	0.612	0.617	0.62	0.00
	0.637	0.775	0.795	0.856	0.797	0.795	0.615	0.62	0.09
	0.699	0.775	0.797	0.785	0.765	0.616	0.616	0.62	0.08
กทม.2	1.009	1.008	1.009	1.009	1.007	1.008	1.013	1.01	0.00
	1.008	1.011	1.005	1.008	1.009	1.011	1.015	1.02	0.00
	1.012	1.005	1.008	1.012	1.005	1.005	1.011	1.01	0.00
กทม.3	1.398	1.396	1.391	1.396	1.391	1.398	1.395	1.40	0.00
	1.392	1.398	1.396	1.391	1.395	1.392	1.389	1.39	0.00
	1.398	1.392	1.398	1.395	1.389	1.398	1.396	1.40	0.00
กทม.4	1.045	1.047	1.051	1.047	1.045	1.047	1.039	1.04	0.00
	1.037	1.045	1.047	1.045	1.047	1.045	1.047	1.05	0.00
	1.047	1.048	1.045	1.056	1.048	1.048	1.045	1.05	0.00
กทม.5	0.378	0.373	0.375	0.378	0.375	0.372	0.375	0.38	0.00
	0.372	0.375	0.378	0.372	0.378	0.375	0.378	0.38	0.00
	0.375	0.378	0.379	0.375	0.372	0.378	0.372	0.37	0.00
กทม.6	1.186	1.187	1.186	1.184	1.189	1.186	1.184	1.18	0.00
	1.187	1.184	1.189	1.189	1.186	1.189	1.186	1.19	0.00
	1.189	1.183	1.184	1.186	1.184	1.187	1.189	1.19	0.00
กทม.7	0.635	0.632	0.635	0.633	0.639	0.635	0.632	0.63	0.00
	0.639	0.635	0.633	0.639	0.633	0.639	0.633	0.63	0.00
	0.633	0.634	0.639	0.635	0.635	0.633	0.639	0.64	0.00

ตาราง 4.6 ร้อยละของปริมาณมาตรฐาน (EC) ด้วยการวิเคราะห์เชิงน้ำหนักของตัวอย่างจากพื้นที่ กกม.

ตัวอย่าง	%EC1	%EC2	%EC3	%EC4	%EC5	%EC6	%EC7	Avg.	SD
กกม.1	0.624	0.632	0.645	0.625	0.621	0.623	0.628	0.63	0.01
	0.632	0.618	0.624	0.623	0.631	0.628	0.623	0.63	0.00
	0.628	0.623	0.627	0.622	0.622	0.628	0.624	0.62	0.00
กกม.2	1.016	1.021	1.027	1.019	1.021	1.019	1.017	1.02	0.00
	1.013	1.037	1.021	1.014	1.026	1.017	1.015	1.02	0.01
	1.025	1.028	1.018	1.016	1.019	1.015	1.016	1.02	0.00
กกม.3	1.483	1.487	1.482	1.483	1.481	1.486	1.487	1.48	0.00
	1.486	1.486	1.489	1.486	1.485	1.485	1.489	1.49	0.00
	1.489	1.489	1.489	1.482	1.482	1.487	1.494	1.49	0.00
กกม.4	1.055	1.053	1.054	1.051	1.054	1.053	1.053	1.05	0.00
	1.052	1.051	1.049	1.047	1.048	1.049	1.048	1.05	0.00
	1.045	1.047	1.047	1.049	1.052	1.051	1.053	1.05	0.00
กกม.5	0.389	0.383	0.386	0.391	0.383	0.392	0.396	0.39	0.00
	0.391	0.386	0.381	0.392	0.386	0.391	0.393	0.39	0.00
	0.395	0.385	0.388	0.395	0.385	0.389	0.397	0.39	0.01
กกม.6	1.197	1.192	1.197	1.196	1.195	1.197	1.195	1.20	0.00
	1.192	1.194	1.192	1.193	1.197	1.192	1.194	1.19	0.00
	1.194	1.197	1.191	1.195	1.192	1.194	1.197	1.19	0.00
กกม.7	0.645	0.648	0.649	0.645	0.644	0.645	0.647	0.65	0.00
	0.648	0.646	0.645	0.638	0.645	0.643	0.649	0.64	0.00
	0.649	0.647	0.648	0.649	0.642	0.645	0.636	0.65	0.00

การวิเคราะห์หามาตรฐานจากตัวอย่างพื้นที่เทศบาลนครราชสีมา มีปริมาณมาตรฐานเฉลี่ยที่วิเคราะห์เชิงพื้นที่อยู่ในช่วงร้อยละ 0.06 – 0.84 โดยมีส่วนเบี่ยงเบนมาตรฐานที่ได้อยู่ในช่วงร้อยละ 0.00 – 0.01 (ตารางที่ 4.7) ปริมาณมาตรฐานเฉลี่ยที่วิเคราะห์เชิงน้ำหนักอยู่ในช่วงร้อยละ 0.14 – 0.82 โดยมีส่วนเบี่ยงเบนมาตรฐานที่ได้อยู่ในช่วงร้อยละ 0.00 – 0.01 (ตารางที่ 4.8)

ตาราง 4.7 ร้อยละของปริมาณชาตุかる์บอน (EC) ด้วยการวิเคราะห์เชิงพื้นที่ของตัวอย่างจากพื้นที่เทศบาลนครราชสีมา

ตัวอย่าง	%EC1	%EC2	%EC3	%EC4	%EC5	%EC6	%EC7	Avg.	SD
nm.1	0.187	0.182	0.186	0.187	0.194	0.197	0.187	0.19	0.01
	0.177	0.187	0.185	0.177	0.196	0.188	0.192	0.19	0.01
	0.189	0.184	0.179	0.189	0.191	0.193	0.194	0.19	0.01
nm.2	0.595	0.596	0.594	0.586	0.595	0.593	0.586	0.59	0.00
	0.596	0.594	0.586	0.595	0.597	0.596	0.594	0.59	0.00
	0.594	0.586	0.595	0.593	0.596	0.594	0.596	0.59	0.00
nm.3	0.838	0.839	0.837	0.834	0.838	0.841	0.837	0.84	0.00
	0.834	0.836	0.839	0.841	0.834	0.837	0.834	0.84	0.00
	0.835	0.838	0.835	0.836	0.835	0.839	0.838	0.84	0.00
nm.4	0.683	0.694	0.685	0.692	0.683	0.685	0.692	0.69	0.01
	0.689	0.685	0.692	0.683	0.692	0.683	0.685	0.67	0.00
	0.684	0.692	0.683	0.685	0.689	0.692	0.683	0.69	0.00
nm.5	0.065	0.061	0.067	0.061	0.065	0.067	0.058	0.06	0.00
	0.067	0.058	0.058	0.067	0.067	0.061	0.061	0.06	0.00
	0.073	0.063	0.061	0.058	0.073	0.058	0.067	0.07	0.01
nm.6	0.177	0.175	0.166	0.175	0.177	0.169	0.169	0.17	0.00
	0.169	0.177	0.174	0.177	0.175	0.177	0.175	0.18	0.00
	0.175	0.169	0.168	0.169	0.168	0.171	0.177	0.17	0.00
nm.7	0.322	0.324	0.327	0.327	0.322	0.324	0.329	0.33	0.00
	0.325	0.322	0.324	0.322	0.324	0.322	0.324	0.32	0.00
	0.324	0.323	0.322	0.324	0.327	0.329	0.325	0.33	0.00

ตาราง 4.8 ร้อยละของปริมาณชาตุかる์บอน (EC) ด้วยการวิเคราะห์เชิงน้ำหนักของตัวอย่างจากพื้นที่เทศบาลนครราชสีมา

ตัวอย่าง	%EC1	%EC2	%EC3	%EC4	%EC5	%EC6	%EC7	Avg.	SD
nm.1	0.191	0.192	0.194	0.187	0.196	0.189	0.189	0.19	0.00
	0.187	0.195	0.188	0.198	0.186	0.191	0.193	0.19	0.00
	0.192	0.194	0.196	0.188	0.187	0.196	0.191	0.19	0.00
nm.2	0.608	0.605	0.611	0.607	0.615	0.613	0.606	0.61	0.00
	0.611	0.606	0.609	0.609	0.607	0.608	0.603	0.61	0.00
	0.606	0.608	0.608	0.611	0.613	0.615	0.604	0.61	0.00

ตารางที่ 4.8 (ต่อ)

ตัวอย่าง	%EC1	%EC2	%EC3	%EC4	%EC5	%EC6	%EC7	Avg.	SD
nm.3	0.822	0.823	0.824	0.825	0.819	0.824	0.823	0.82	0.00
	0.816	0.813	0.819	0.817	0.827	0.819	0.813	0.82	0.00
	0.819	0.822	0.824	0.823	0.822	0.823	0.821	0.82	0.00
nm.4	0.687	0.682	0.689	0.684	0.685	0.686	0.687	0.69	0.00
	0.689	0.684	0.981	0.681	0.684	0.688	0.685	0.73	0.11
	0.685	0.683	0.687	0.688	0.683	0.689	0.683	0.69	0.00
nm.5	0.144	0.148	0.154	0.146	0.149	0.143	0.141	0.15	0.00
	0.141	0.138	0.146	0.148	0.147	0.149	0.144	0.14	0.00
	0.145	0.142	0.151	0.154	0.142	0.148	0.147	0.15	0.00
nm.6	0.174	0.175	0.176	0.183	0.182	0.185	0.173	0.18	0.00
	0.172	0.176	0.183	0.179	0.176	0.184	0.174	0.18	0.00
	0.175	0.179	0.181	0.183	0.181	0.186	0.177	0.18	0.00
nm.7	0.323	0.316	0.324	0.324	0.323	0.327	0.314	0.32	0.00
	0.324	0.325	0.327	0.313	0.324	0.324	0.325	0.32	0.00
	0.322	0.313	0.329	0.325	0.322	0.321	0.316	0.32	0.01

การวิเคราะห์หาอินทรีย์คาร์บอนจากตัวอย่างพื้นที่กรุงเทพฯ มีปริมาณอินทรีย์คาร์บอนเฉลี่ยที่วิเคราะห์เชิงพื้นที่อยู่ในช่วงร้อยละ 0.98 – 2.73 โดยมีส่วนเบี่ยงเบนมาตรฐานที่ได้อยู่ในช่วงร้อยละ 0.13 – 0.87 (ตารางที่ 4.9) ปริมาณอินทรีย์คาร์บอนเฉลี่ยที่วิเคราะห์เชิงน้ำหนักอยู่ในช่วงร้อยละ 0.20 – 2.46 โดยมีส่วนเบี่ยงเบนมาตรฐานที่ได้อยู่ในช่วงร้อยละ 0.07 – 0.60 (ตารางที่ 4.10)

ตาราง 4.9 ร้อยละของปริมาณอินทรีย์คาร์บอน (OC) ตัวอย่างการวิเคราะห์เชิงพื้นที่ของตัวอย่างจากพื้นที่ กกม.

ตัวอย่าง	%OC1	%OC2	%OC3	%OC4	%OC5	%OC6	%OC7	Avg.	SD
กกม.1	0.790	1.022	1.152	1.066	1.293	1.022	1.269	1.27	0.17
	1.156	1.810	1.920	1.970	1.358	1.506	1.326	1.33	0.32
	1.139	1.882	2.007	1.589	1.498	1.513	1.547	1.55	0.28
กกม.2	0.401	0.674	0.752	1.247	1.302	1.014	0.984	0.98	0.32
	0.282	0.831	0.789	1.207	0.582	1.007	1.042	1.04	0.31
	0.272	0.812	0.822	1.161	0.612	0.989	1.052	1.05	0.30

ตารางที่ 4.9 (ต่อ)

ตัวอย่าง	%OC1	%OC2	%OC3	%OC4	%OC5	%OC6	%OC7	Avg.	SD
กทม.3	0.768	0.723	0.728	0.835	1.119	1.241	1.100	1.10	0.22
	0.822	0.788	0.96	0.822	1.118	1.348	1.261	1.26	0.23
	0.852	0.776	0.792	0.724	1.338	1.319	1.119	1.12	0.26
กทม.4	2.573	2.684	2.472	2.381	2.825	2.553	2.730	2.73	0.15
	2.526	2.631	2.449	2.354	2.742	2.528	2.667	2.67	0.13
	2.560	2.672	2.49	2.362	2.821	2.572	2.713	2.71	0.15
กทม.5	1.586	1.597	1.164	1.252	1.25	1.543	1.251	1.25	0.19
	1.615	1.591	1.167	1.232	1.242	1.545	1.269	1.27	0.19
	1.594	1.600	1.162	1.241	1.217	1.553	1.284	1.28	0.19
กทม.6	2.060	2.05	2.055	2.036	2.710	2.013	1.910	1.91	0.27
	2.040	2.025	2.067	2.000	2.767	1.996	1.933	1.93	0.29
	2.067	2.037	2.006	1.992	2.756	2.07	1.889	1.89	0.29
กทม.7	1.186	1.254	1.740	1.634	1.458	1.674	1.735	1.74	0.23
	1.180	1.279	1.750	1.658	1.448	1.686	1.823	1.82	0.25
	1.163	1.270	1.750	1.656	1.469	1.75	1.769	1.77	0.25

ตาราง 4.10 ร้อยละของปริมาณอินทรีคาร์บอน (OC) ด้วยการวิเคราะห์เชิงน้ำหนักของตัวอย่างจากพื้นที่ กทม.

ตัวอย่าง	%OC1	%OC2	%OC3	%OC4	%OC5	%OC6	%OC7	Avg.	SD
กทม.1	1.1611	1.2611	1.4611	1.1811	1.6011	1.2311	1.2511	1.31	0.16
	0.9611	1.3211	1.1911	1.3011	1.1741	1.2011	1.2211	1.20	0.12
	0.9811	1.1911	1.1911	1.2911	1.3311	1.3111	1.2911	1.23	0.12
กทม.2	0.9731	0.9611	0.9061	0.9061	0.7681	0.8211	0.8191	0.88	0.08
	1.0141	0.9611	0.8611	0.8611	0.7611	0.9231	0.7511	0.88	0.10
	0.9611	1.0151	0.9311	0.9311	0.8271	0.9401	0.8091	0.92	0.07
กทม.3	0.9471	0.7461	0.6051	0.7171	0.9991	2.0441	1.9351	1.14	0.60
	0.9381	0.7391	0.6641	0.8411	1.0621	1.9841	1.8811	1.16	0.55
	0.9441	0.7661	0.6671	0.7471	0.9981	2.0381	1.8711	1.15	0.57

ตารางที่ 4.10 (ต่อ)

ตัวอย่าง	%OC1	%OC2	%OC3	%OC4	%OC5	%OC6	%OC7	Avg.	SD
กทม.4	2.1891	2.6411	2.3711	2.5611	2.4551	2.6511	2.3011	2.45	0.18
	2.1941	2.6291	2.3811	2.5871	2.4971	2.6611	2.2991	2.46	0.18
	2.1591	2.6411	2.3571	2.5481	2.4911	2.6611	2.2661	2.45	0.19
กทม.5	1.4791	1.6911	1.6011	1.5071	1.6801	1.7111	1.2581	1.56	0.16
	1.4881	1.7011	1.6311	1.4901	1.6841	1.7021	1.1991	1.56	0.18
	1.4711	1.6991	1.6391	1.4791	1.7001	1.7111	1.2071	1.56	0.19
กทม.6	2.1821	2.3411	1.5401	2.4261	2.3321	2.2511	2.4791	2.22	0.32
	2.1981	2.3411	1.5181	2.4021	2.3061	2.2151	2.5081	2.21	0.32
	2.2011	2.3101	1.5211	2.4351	2.3301	2.2041	2.5521	2.22	0.33
กทม.7	1.9981	1.8511	1.8961	1.7021	1.8551	1.8211	1.9311	1.86	0.09
	1.9911	1.8611	1.8681	1.6411	1.9111	1.8311	1.9401	1.86	0.11
	2.0011	1.8851	1.8951	1.6251	1.8811	1.8111	1.9511	1.86	0.12

การวิเคราะห์หาอินทรีคาร์บอนจากตัวอย่างพื้นที่เทศบาลนครราชสีมา มีปริมาณอินทรีคาร์บอนเฉลี่ยที่วิเคราะห์เชิงพื้นที่อยู่ในช่วงร้อยละ 0.28 – 1.14 โดยมีส่วนเบี่ยงเบนมาตรฐานที่ได้อยู่ในช่วงร้อยละ 0.04 – 0.21 (ตารางที่ 4.11) ปริมาณอินทรีคาร์บอนเฉลี่ยที่วิเคราะห์เชิงหน้าหักอยู่ในช่วงร้อยละ 0.20 – 0.97 โดยมีส่วนเบี่ยงเบนมาตรฐานที่ได้อยู่ในช่วงร้อยละ 0.03 – 0.17 (ตารางที่ 4.12)

ตาราง 4.11 ร้อยละของปริมาณอินทรีคาร์บอน (OC) ด้วยการวิเคราะห์เชิงพื้นที่ของตัวอย่างจากพื้นที่เทศบาลนครราชสีมา

ตัวอย่าง	%OC1	%OC2	%OC3	%OC4	%OC5	%OC6	%OC7	Avg.	SD
น.ม.1	0.441	0.503	0.540	0.685	0.615	0.437	0.482	0.53	0.09
	0.458	0.550	0.662	0.754	0.631	0.555	0.598	0.60	0.09
	0.436	0.502	0.634	0.626	0.662	0.603	0.582	0.58	0.08
น.ม.2	0.641	0.836	0.604	0.705	0.656	0.665	0.705	0.69	0.07
	0.762	0.730	0.735	0.753	0.668	0.684	0.670	0.71	0.04
	0.690	0.686	0.511	0.687	0.738	0.689	0.787	0.68	0.09
น.ม.3	0.381	0.375	0.498	0.414	0.603	0.612	0.866	0.54	0.18
	0.374	0.421	0.476	0.450	0.582	0.619	0.752	0.52	0.13
	0.284	0.386	0.455	0.372	0.651	0.545	0.906	0.51	0.21

ตารางที่ 4.11 (ต่อ)

ตัวอย่าง	%OC1	%OC2	%OC3	%OC4	%OC5	%OC6	%OC7	Avg.	SD
นम.4	0.186	0.172	0.171	0.290	0.183	0.217	0.206	0.20	0.04
	0.262	0.262	0.109	0.252	0.201	0.243	0.233	0.22	0.05
	0.161	0.112	0.162	0.274	0.150	0.228	0.158	0.18	0.05
นม.5	0.165	0.132	0.109	0.154	0.043	0.183	0.073	0.12	0.05
	0.226	0.162	0.161	0.119	0.067	0.150	0.027	0.13	0.07
	0.165	0.110	0.157	0.187	0.082	0.106	0.046	0.12	0.05
นม.6	0.627	0.598	0.762	0.711	0.716	0.670	0.695	0.68	0.06
	0.654	0.628	0.735	0.728	0.740	0.681	0.708	0.70	0.04
	0.644	0.627	0.712	0.772	0.802	0.612	0.717	0.70	0.07
นม.7	1.043	0.992	1.022	0.864	0.941	0.937	0.956	0.97	0.06
	1.050	0.988	0.999	0.863	0.960	0.924	0.989	0.97	0.06
	1.065	0.977	0.969	0.873	0.970	0.926	0.982	0.97	0.06

ตาราง 4.12 ร้อยละของปริมาณอินทรีคาร์บอน (OC) ตัวยาริวิเคราะห์เชิงน้ำหนักของตัวอย่างจากพื้นที่เทศบาลนครนครราชสีมา

ตัวอย่าง	%OC1	%OC2	%OC3	%OC4	%OC5	%OC6	%OC7	Avg.	SD
นม.1	0.741	0.691	0.691	0.656	0.661	0.666	0.668	0.68	0.03
	0.685	0.655	0.654	0.744	0.637	0.682	0.702	0.68	0.04
	0.728	0.641	0.733	0.657	0.652	0.734	0.689	0.69	0.04
นม.2	0.231	0.542	0.261	0.297	0.327	0.378	0.369	0.34	0.10
	0.171	0.486	0.294	0.311	0.314	0.401	0.472	0.35	0.11
	0.231	0.511	0.261	0.281	0.271	0.369	0.451	0.34	0.11
นม.3	0.308	0.441	0.377	0.094	0.077	0.058	0.061	0.20	0.17
	0.306	0.461	0.301	0.223	0.113	0.111	0.061	0.23	0.14
	0.310	0.455	0.285	0.211	0.050	0.070	0.122	0.21	0.15
นม.4	0.400	0.591	0.461	0.621	0.471	0.512	0.379	0.49	0.09
	0.411	0.596	0.171	0.601	0.411	0.511	0.421	0.45	0.15
	0.411	0.610	0.466	0.631	0.423	0.501	0.441	0.50	0.09

ตารางที่ 4.12 (ต่อ)

ตัวอย่าง	%OC1	%OC2	%OC3	%OC4	%OC5	%OC6	%OC7	Avg.	SD
nm.5	0.274	0.294	0.263	0.281	0.321	0.271	0.281	0.28	0.02
	0.261	0.306	0.311	0.271	0.321	0.261	0.266	0.29	0.03
	0.291	0.247	0.307	0.272	0.341	0.281	0.291	0.29	0.03
nm.6	1.080	1.068	1.131	1.075	0.911	0.991	0.800	1.01	0.12
	1.081	1.001	1.141	1.031	0.971	1.021	0.825	1.01	0.10
	1.018	1.001	1.131	1.050	0.932	1.017	0.818	1.00	0.10
nm.7	1.049	1.161	1.251	1.151	1.040	1.061	1.211	1.13	0.08
	1.065	1.161	1.281	1.153	1.059	1.051	1.181	1.14	0.08
	1.063	1.161	1.261	1.171	1.064	1.085	1.171	1.14	0.07

ปริมาณคาร์บอนที่ได้จากการวิเคราะห์ในสองลักษณะเปรียบเทียบให้เห็นได้ว่า ปริมาณมาตรฐานมีค่าเฉลี่ยใกล้เคียงกันที่ร้อยละ 35.6 และ 36.2 ของตัวอย่างที่ได้จากพื้นที่กรุงเทพฯ เมื่อวิเคราะห์โดยใช้พื้นที่และนำหน้าเป็นเกณฑ์ตามลำดับ ซึ่งลักษณะของค่าเฉลี่ยที่ได้มีค่าไม่ต่างกันมากนัก สำหรับปริมาณสารอินทรีย์คาร์บอนที่ร้อยละ 64.4 และ 63.7 เมื่อวิเคราะห์โดยใช้พื้นที่และนำหน้าเป็นเกณฑ์ตามลำดับ ในภาพรวมการวิเคราะห์หาสารอินทรีย์คาร์บอนให้ค่า Coefficient of variation ต่ำกว่าที่ร้อยละ 18.5 ถึง 21.4 (ตารางที่ 4.13) อย่างไรก็ตาม องค์ประกอบของคาร์บอนในผุนและของขนาดเล็ก PM₁₀ มีลักษณะที่ไม่คงตัวตามพื้นที่และเวลา (Spatial and temporal variation) (U.S.EPA, 1996) การใช้ค่า Coefficient of variation จึงเป็นเพียงส่วนหนึ่งที่ทำให้เห็นการกระจายของข้อมูลเบื้องต้นที่ได้จากการวิเคราะห์สารอินทรีย์ คาร์บอนและชาตุかるบอนเท่านั้น

การเปรียบเทียบผลที่ได้จากการวิเคราะห์ในสองลักษณะของตัวอย่างจากพื้นที่เทศบาลนคร นครราชสีมาพบว่า ปริมาณมาตรฐานมีค่าเฉลี่ยแตกต่างกันสูงกว่าตัวอย่างที่ได้จากพื้นที่กรุงเทพฯ โดยมีค่าเฉลี่ยร้อยละ 41.2 และ 42.2 เมื่อวิเคราะห์โดยใช้พื้นที่และนำหน้าเป็นเกณฑ์ตามลำดับ ซึ่งคล้ายกับลักษณะของค่าเฉลี่ยที่ได้ของปริมาณสารอินทรีย์คาร์บอนที่ร้อยละ 58.8 และ 57.8 เมื่อวิเคราะห์โดยใช้พื้นที่และนำหน้าเป็นเกณฑ์ตามลำดับ แต่ในภาพรวมของทั้งสองวิธีค่า Coefficient of variation ของการวิเคราะห์สารอินทรีย์คาร์บอนต่ำกว่าของชาตุかるบอนที่สูงประมาณร้อยละ 52.5 ถึง 59.3 (ตารางที่ 4.14)

ตารางที่ 4.13 เปรียบเทียบสัดส่วนของราดูคาร์บอนและอินทรีคาร์บอนต่อปริมาณคาร์บอน
ทั้งหมดในตัวอย่างจากพื้นที่กรุงเทพฯ

ตัวอย่าง	%ECarea	%ECweight	%OCarea	%OCweight
กทม.1	30.9	33.5	69.1	66.5
กทม.2	49.7	53.4	50.3	46.6
กทม.3	53.1	56.1	46.7	43.8
กทม.4	27.9	30.0	72.1	70.0
กทม.5	22.8	20.0	77.2	80.0
กทม.6	38.3	35.0	61.7	65.0
กทม.7	26.3	25.7	73.7	74.3
ค่าเฉลี่ย	35.6	36.2	64.4	63.7
S.D.	11.9	13.6	11.9	13.6
C.V.	33.2	37.6	18.5	21.4

ตารางที่ 4.14 เปรียบเทียบสัดส่วนของราดูคาร์บอนและอินทรีคาร์บอนต่อปริมาณคาร์บอน
ทั้งหมดในตัวอย่างจากพื้นที่เทศบาลนครราชสีมา

ตัวอย่าง	%ECarea	%ECweight	%OCarea	%OCweight
นน.1	24.8	21.9	75.2	78.1
นน.2	45.7	63.8	54.3	36.2
นน.3	61.5	79.3	38.5	20.7
นน.4	77.3	59.4	22.7	40.6
นน.5	33.7	33.8	66.3	66.2
นน.6	20.0	15.1	80.0	84.9
นน.7	25.1	22.1	74.9	77.9
ค่าเฉลี่ย	41.2	42.2	58.8	57.8
S.D.	21.5	25.0	21.5	25.0
C.V.	52.2	59.3	36.5	43.3

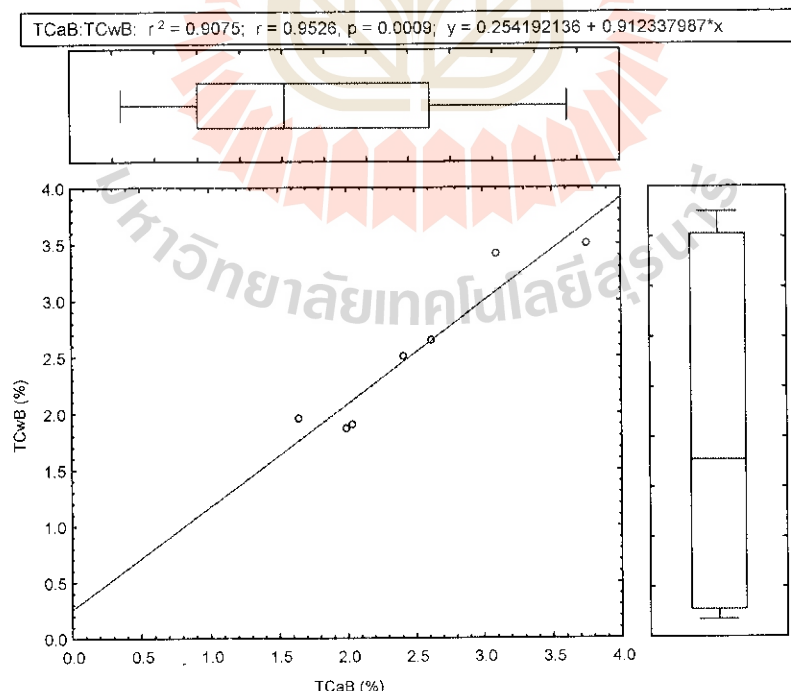
เมื่อเปรียบแต่ค่าเฉลี่ยที่ได้จากการวิเคราะห์โดยใช้พื้นที่เป็นเกณฑ์จะมีค่าต่ำกว่าค่าเฉลี่ยที่ได้จากการวิเคราะห์โดยใช้น้ำหนักเป็นเกณฑ์สำหรับตัวอย่างจากกรุงเทพฯ และเทศบาลนครราชสีมา โดยค่าความแตกต่างสำหรับการวิเคราะห์หาปริมาณราดูคาร์บอนของทั้งสองพื้นที่

มีค่าอยู่ในช่วง 1.7 – 2.4% และค่าความแตกต่างสำหรับการวิเคราะห์หาปริมาณอินทรีย์คาร์บอนของทั้งสองพื้นที่มีค่าอยู่ในช่วง 1.7 - 2.3% ตัวอย่างจากพื้นที่กรุงเทพฯ ที่มีปริมาณความเข้มข้นของฝุ่นละอองขนาดเล็ก PM_{10} มีค่าการกระจายตัวของข้อมูลที่เป็นส่วนเบี่ยงเบนมาตรฐานต่ำกว่าตัวอย่างจากพื้นที่เทศบาลนครราชสีมา

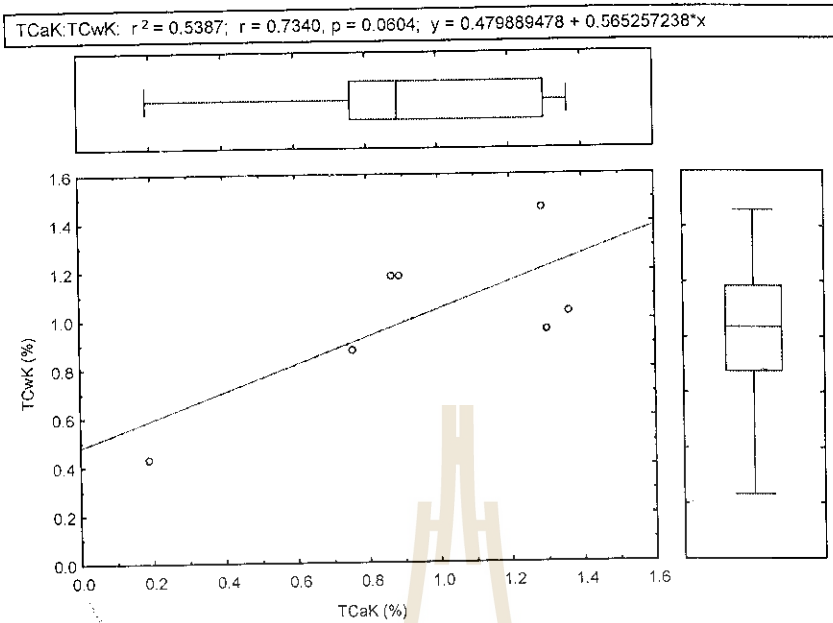
ผลการวิเคราะห์ทางสถิติเพื่อเปรียบเทียบปริมาณคาร์บอนทั้งหมด (TC) จากการวิเคราะห์ด้วยน้ำหนักและพื้นที่เป็นเกณฑ์พบว่า ตัวอย่างที่ได้จากพื้นที่กรุงเทพฯ เมื่อวิเคราะห์ด้วยสองวิธี มีความสัมพันธ์กันในระดับสูง ($r^2 = 0.91, p < 0.05$) (รูปที่ 4.1) แต่ตัวอย่างที่ได้จากพื้นที่เทศบาลนครราชสีมาวิธีเมื่อวิเคราะห์ด้วยสองวิธีมีความสัมพันธ์กันในระดับปานกลาง ($r^2 = 0.54, p > 0.05$) (รูปที่ 4.2)

สำหรับการวิเคราะห์เปรียบเทียบปริมาณชาตุかる์บอน (EC) จากการวิเคราะห์ด้วยน้ำหนักและพื้นที่เป็นเกณฑ์พบว่า ตัวอย่างจากสองพื้นที่ คือ กรุงเทพฯ และเทศบาลนครราชสีมาที่วิเคราะห์ด้วยสองวิธีมีความสัมพันธ์กันในระดับสูง ($r^2 = 0.99, p < 0.05$) (รูปที่ 4.3 และ 4.4)

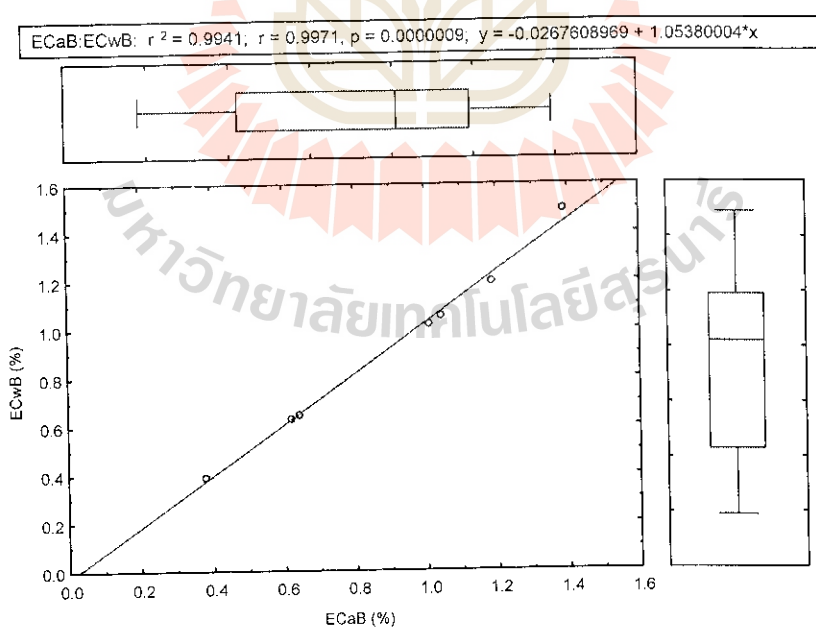
ผลการวิเคราะห์ทางสถิติเพื่อเปรียบเทียบปริมาณอินทรีย์คาร์บอน (OC) จากการวิเคราะห์ด้วยน้ำหนักและพื้นที่เป็นเกณฑ์พบว่า ตัวอย่างที่ได้จากพื้นที่กรุงเทพฯ เมื่อวิเคราะห์ด้วยสองวิธี มีความสัมพันธ์กันในระดับสูง ($r^2 = 0.86, p < 0.05$) (รูปที่ 4.5) แต่ตัวอย่างที่ได้จากพื้นที่เทศบาลนครราชสีมาวิธีเมื่อวิเคราะห์ด้วยสองวิธีมีความสัมพันธ์กันในระดับต่ำ ($r^2 = 0.45, p > 0.05$) (รูปที่ 4.6)



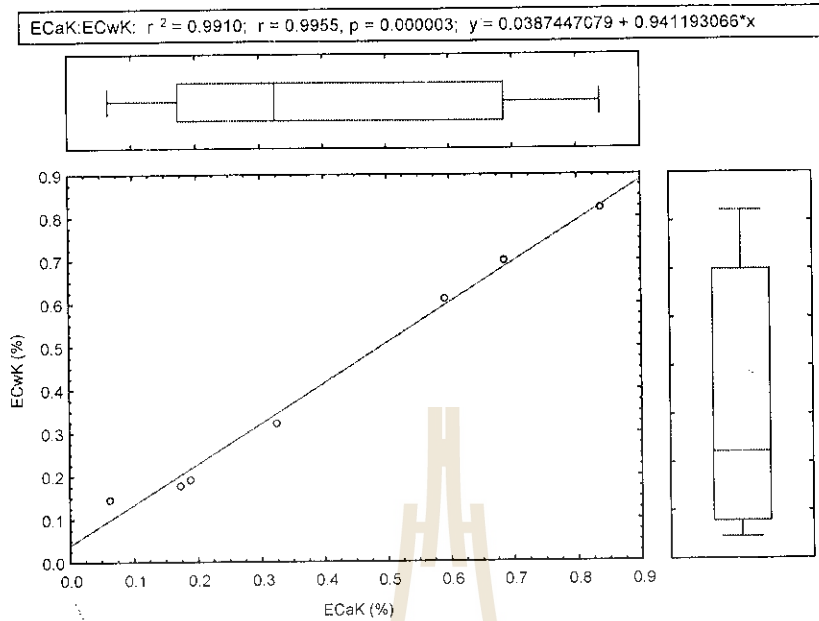
รูปที่ 4.1 การเปรียบเทียบปริมาณคาร์บอนทั้งหมด (TC) ของตัวอย่างจากพื้นที่กรุงเทพฯ



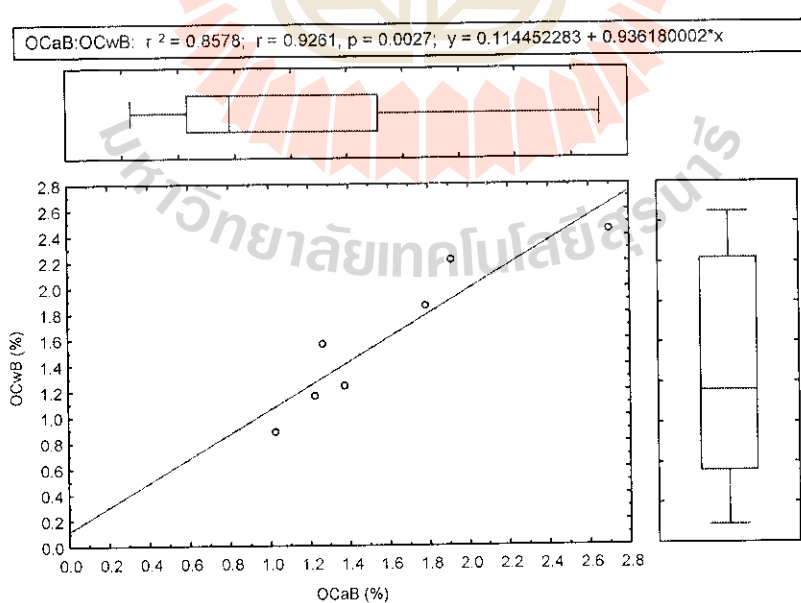
รูปที่ 4.2 การเปรียบเทียบปริมาณคาร์บอนหั้งหมด (TC) ของตัวอย่างจากพื้นที่เทศบาลนครนครราชสีมา



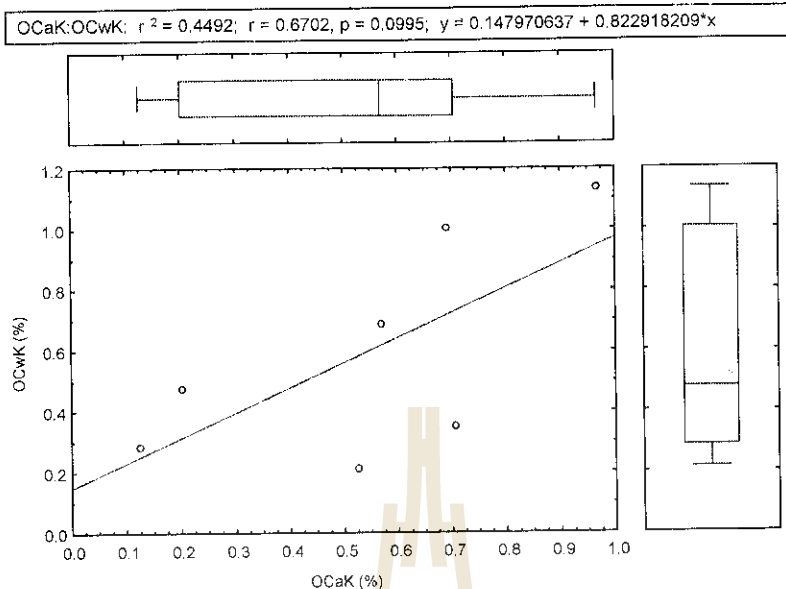
รูปที่ 4.3 การเปรียบเทียบปริมาณชาตุкар์บอน (EC) ของตัวอย่างจากพื้นที่กรุงเทพฯ



รูปที่ 4.4 การเปรียบเทียบปริมาณชาตุкар์บอน (EC) ของตัวอย่างจากพื้นที่เทศบาลนคร
นครราชสีมา



รูปที่ 4.5 การเปรียบเทียบปริมาณอินทรีย์คาร์บอน (OC) ของตัวอย่างจากพื้นที่กรุงเทพฯ



รูปที่ 4.6 การเปรียบเทียบปริมาณอินทรีคัรบอน (OC) ของตัวอย่างจากพื้นที่เทศบาลนคร
นครราชสีมา

บทที่ 5

การวิจารณ์และสรุปผล

การวิเคราะห์องค์ประกอบของสารกลุ่มอินทรีย์carbonและกลุ่มธาตุかるบอนในตัวอย่างฝุ่นละอองขนาดเล็ก PM_{10} ในบรรยากาศมีความเป็นไปได้ด้วยการใช้เครื่องอิลิเมนทอล อนาไลเซอร์ (Elemental analyzer) ของคุนย์เครื่องมือวิทยาศาสตร์และเทคโนโลยี มหาวิทยาลัยเทคโนโลยีสุรนารี ด้วยหลักการทำงานที่ใช้ความร้อนในการทำให้สารかるบอนในตัวอย่างถูกอกออกซิไดซ์ กลายเป็นก๊าซかるบอนไดออกไซด์ ซึ่งปริมาณかるบอนจะถูกตรวจวัดด้วยอุปกรณ์อินฟราเรด เปรียบเทียบกับบرمามแคร์บอนในสารมาตรฐานかるบอน (Reference material) ที่ทำการวิเคราะห์ในช่วงเริ่มต้นการทดสอบเป็นสิ่งอ้างอิงด้านปริมาณ ซึ่งเป็นหลักการพื้นฐานของเครื่องมือวิเคราะห์ทั่วไป ทั้งนี้ เทคนิคที่เพิ่มเติมของการพัฒนาวิธีการวิเคราะห์เป็นการเลือกใช้สารมาตรฐานかるบอนที่มีปริมาณค่อนข้างต่ำกว่าที่ใช้สำหรับการวิเคราะห์ธาตุทั่วไป ด้วยเหตุนี้ การประยุกต์ใช้เครื่องอิลิเมนทอล อนาไลเซอร์ จึงเป็นทางเลือกที่ทำให้เห็นว่าการวิเคราะห์องค์ประกอบของสารกลุ่มอินทรีย์かるบอนและกลุ่มธาตุかるบอนสามารถทำได้

ประสิทธิภาพของวิธีการและเครื่องมือวิเคราะห์ทดสอบด้วยการเลือกใช้ตัวอย่างฝุ่นละอองขนาดเล็ก PM_{10} จากพื้นที่ที่มีระดับของการบันเบื้องในบรรยากาศในระดับสูงและปานกลาง คือ พื้นที่กรุงเทพฯ และภาคบานนครราชสีมา ซึ่งการทดสอบความสามารถของวิธีการและเครื่องมือวิเคราะห์แบ่งเป็นการจำแนกหาบرمามธาตุかるบอน (EC) อินทรีย์かるบอน (OC) และทำให้สามารถหาかるบอนทั้งหมด (TC) ได้ด้วย ซึ่งการวิเคราะห์ได้ดำเนินการในสองลักษณะ คือ การวิเคราะห์โดยอาศัยน้ำหนักตัวอย่างเป็นเกณฑ์ และใช้พื้นที่ตัวอย่างเป็นเกณฑ์ ทั้งนี้ การประเมินประสิทธิภาพของวิธีการและเครื่องมือวิเคราะห์สรุปได้ว่า

เครื่องอิลิเมนทอล อนาไลเซอร์มีขีดความสามารถในการประยุกต์ใช้กับตัวอย่างที่เป็นฝุ่นละอองขนาดเล็ก PM_{10} ที่เก็บบนกระดาษกรองชนิดดาวทช์ได้ แต่ตัวอย่างที่เหมาะสมกับการวิเคราะห์ด้วยเครื่องมือนี้ควรเป็นตัวอย่างฝุ่นละอองที่มีปริมาณかるบอนค่อนข้างสูง เช่น พื้นที่บริเวณริมถนนของกรุงเทพฯ เป็นต้น ซึ่งมีระดับมลพิษอากาศที่เกิดขึ้นจากการกิจกรรมที่ค่อนข้างหลากหลายโดยเฉพาะมลพิษจากการจราจรหนาแน่น เนื่องจากลักษณะของเครื่องมือที่นิยมใช้กับตัวอย่างที่มีความเข้มข้นในระดับที่สูงกว่าการบันเบื้องในสิ่งแวดล้อม เช่น ตัวอย่างถ่าน ถิน เป็นต้น การวิเคราะห์ปริมาณธาตุかるบอนและอินทรีย์かるบอนแบบใช้น้ำหนักและพื้นที่เป็นเกณฑ์มีค่าเฉลี่ยไม่ต่างกันมากนัก โดยความแตกต่างของค่าเฉลี่ยของปริมาณธาตุかるบอนของห้องสองพื้นที่มีค่าอยู่ในช่วง 1.7 – 2.4% และค่าความแตกต่างสำหรับการวิเคราะห์หาปริมาณ

อินทรีย์คาร์บอนของหั้งสองพื้นที่มีค่าอยู่ในช่วง 1.7 - 2.3% การเปรียบเทียบผลที่ได้จากการวิเคราะห์ในสองลักษณะของตัวอย่างจากพื้นที่เทศบาลนครราชสีมาพบว่า ปริมาณธาตุคาร์บอนมีค่าเฉลี่ยแตกต่างกันสูงกว่าตัวอย่างที่ได้จากพื้นที่กรุงเทพฯ โดยมีค่าเฉลี่ยร้อยละ 41.2 และ 42.2 เมื่อวิเคราะห์โดยใช้พื้นที่และน้ำหนักเป็นเกณฑ์ตามลำดับ ซึ่งคล้ายกับลักษณะของค่าเฉลี่ยที่ได้ของปริมาณสารอินทรีย์คาร์บอนที่ร้อยละ 58.8 และ 57.8 เมื่อวิเคราะห์โดยใช้พื้นที่และน้ำหนักเป็นเกณฑ์ตามลำดับ

ในภาพรวมพบว่าระดับคาร์บอนในฝุ่นละออง PM_{10} โดยเฉลี่ยที่ทำการวิเคราะห์ได้มีปริมาณคาร์บอนทั้งหมดไม่เกินร้อยละ 4 ของตัวอย่างเท่านั้น (ตารางที่ 5.1) และมีค่าเฉลี่ยประมาณคาร์บอนทั้งหมดเท่ากับ 2.508 ± 0.056 และ 2.543 ± 0.016 เมื่อวิเคราะห์แบบใช้พื้นที่และน้ำหนักเป็นเกณฑ์ตามลำดับ ส่วนค่าเฉลี่ยประมาณธาตุคาร์บอนเท่ากับ 0.894 ± 0.003 และ 0.916 ± 0.001 เมื่อวิเคราะห์แบบใช้พื้นที่และน้ำหนักเป็นเกณฑ์ตามลำดับ ค่าเฉลี่ยประมาณอินทรีย์คาร์บอนเท่ากับ 1.613 ± 0.059 และ 1.627 ± 0.016 เมื่อวิเคราะห์แบบใช้พื้นที่และน้ำหนักเป็นเกณฑ์ตามลำดับ โดยตัวอย่างจากพื้นที่เทศบาลนครราชสีมา มีปริมาณคาร์บอนทั้งหมดไม่เกินร้อยละ 1.5 ของตัวอย่าง (ตารางที่ 5.2) และมีค่าเฉลี่ยประมาณคาร์บอนทั้งหมดเท่ากับ 0.950 ± 0.010 และ 1.017 ± 0.007 เมื่อวิเคราะห์แบบใช้พื้นที่และน้ำหนักเป็นเกณฑ์ตามลำดับ ส่วนค่าเฉลี่ยประมาณธาตุคาร์บอนเท่ากับ 0.409 ± 0.001 และ 0.424 ± 0.005 เมื่อวิเคราะห์แบบใช้พื้นที่และน้ำหนักเป็นเกณฑ์ตามลำดับ ค่าเฉลี่ยประมาณอินทรีย์คาร์บอนเท่ากับ 0.541 ± 0.010 และ 0.593 ± 0.011 เมื่อวิเคราะห์แบบใช้พื้นที่และน้ำหนักเป็นเกณฑ์ตามลำดับ

ตารางที่ 5.1 ค่าเฉลี่ยร้อยละของปริมาณคาร์บอนแต่ละกลุ่มจากตัวอย่างพื้นที่กรุงเทพฯ

ตัวอย่าง	AvgTCaB \pm SD	AvgTCwB \pm SD	AvgECaB \pm SD	AvgECwB \pm SD	AvgOCaB \pm SD	AvgOCwB \pm SD
กทม.1	1.997 \pm 0.147	1.869 \pm 0.059	0.616 \pm 0.001	0.626 \pm 0.002	1.381 \pm 0.147	1.243 \pm 0.057
กทม.2	2.039 \pm 0.036	1.911 \pm 0.022	1.013 \pm 0.002	1.020 \pm 0.000	1.026 \pm 0.037	0.891 \pm 0.022
กทม.3	2.623 \pm 0.098	2.648 \pm 0.015	1.392 \pm 0.003	1.486 \pm 0.002	1.225 \pm 0.111	1.159 \pm 0.017
กทม.4	3.747 \pm 0.029	3.505 \pm 0.009	1.044 \pm 0.004	1.051 \pm 0.002	2.703 \pm 0.033	2.454 \pm 0.009
กทม.5	1.643 \pm 0.015	1.948 \pm 0.002	0.375 \pm 0.003	0.389 \pm 0.001	1.268 \pm 0.017	1.559 \pm 0.002
กทม.6	3.097 \pm 0.021	3.413 \pm 0.006	1.186 \pm 0.003	1.194 \pm 0.001	1.911 \pm 0.022	2.219 \pm 0.005
กทม.7	2.410 \pm 0.045	2.510 \pm 0.001	0.635 \pm 0.004	0.645 \pm 0.001	1.776 \pm 0.044	1.864 \pm 0.001
ค่าเฉลี่ย	2.508 ± 0.056	2.543 ± 0.016	0.894 ± 0.003	0.916 ± 0.001	1.613 ± 0.059	1.627 ± 0.016

ตารางที่ 5.2 ค่าเฉลี่ยร้อยละของปริมาณคาร์บอนแต่ละกลุ่มจากตัวอย่างพื้นที่เทศบาลนคร
นครราชสีมา

ตัวอย่าง	AvgTCaK \pm SD	AvgTCwK \pm SD	AvgECaK \pm SD	AvgECwK \pm SD	AvgOCaK \pm SD	AvgOCwK \pm SD
nm.1	0.757 \pm 0.007	0.876 \pm 0.007	0.188 \pm 0.001	0.191 \pm 0.000	0.569 \pm 0.007	0.684 \pm 0.006
nm.2	1.298 \pm 0.016	0.956 \pm 0.016	0.593 \pm 0.001	0.609 \pm 0.002	0.705 \pm 0.015	0.347 \pm 0.017
nm.3	1.362 \pm 0.011	1.035 \pm 0.009	0.837 \pm 0.000	0.821 \pm 0.003	0.525 \pm 0.011	0.214 \pm 0.011
nm.4	0.889 \pm 0.023	1.178 \pm 0.005	0.687 \pm 0.000	0.700 \pm 0.024	0.202 \pm 0.023	0.478 \pm 0.028
nm.5	0.189 \pm 0.004	0.432 \pm 0.004	0.064 \pm 0.001	0.146 \pm 0.001	0.125 \pm 0.005	0.286 \pm 0.003
nm.6	0.865 \pm 0.009	1.183 \pm 0.007	0.173 \pm 0.002	0.179 \pm 0.001	0.692 \pm 0.008	1.005 \pm 0.008
nm.7	1.291 \pm 0.000	1.458 \pm 0.004	0.324 \pm 0.000	0.322 \pm 0.001	0.966 \pm 0.001	1.136 \pm 0.004
ค่าเฉลี่ย	0.950 \pm 0.010	1.017 \pm 0.007	0.409 \pm 0.001	0.424 \pm 0.005	0.541 \pm 0.010	0.593 \pm 0.011

ความสัมพันธ์ของวิธีวิเคราะห์ด้วยน้ำหนักเปรียบเทียบกับการใช้พื้นที่เป็นเกณฑ์ มีความสอดคล้องกันสำหรับตัวอย่างจากพื้นที่กรุงเทพฯ เมื่อพิจารณาจากค่าสัมประสิทธิ์สหสัมพันธ์ (Coefficient of determination – r^2) ที่มีค่าประมาณ 0.91, 0.99 และ 0.86 สำหรับผลการวิเคราะห์ปริมาณคาร์บอนหั้งหมัด ชาตุкар์บอน และอินทรีย์кар์บอน ตามลำดับ ซึ่งเป็นตัวอย่างที่มีปริมาณคาร์บอนสูงกว่าพื้นที่เทศบาลนครราชสีมา โดยความสัมพันธ์ของวิธีวิเคราะห์ด้วยน้ำหนักเปรียบเทียบกับการใช้พื้นที่เป็นเกณฑ์ของตัวอย่างจากพื้นที่มีความสัมพันธ์ในระดับปานกลางสำหรับการหั้งหมัด ($r^2 = 0.54$, $p > 0.05$) และระดับต่ำสำหรับปริมาณอินทรีย์кар์บอน ($r^2 = 0.45$, $p > 0.05$) แต่ความสัมพันธ์ของวิธีวิเคราะห์หั้งสองกลับสูงสำหรับการหาปริมาณชาตุкар์บอนอยู่ในระดับต่ำมากสำหรับตัวอย่างจากหั้งสองพื้นที่ ซึ่งแสดงให้เห็นว่า คาร์บอนที่มีความคงตัว (ชาตุкар์บอน) จะเหมาะสมกับการวิเคราะห์ด้วยเครื่องอิลิเมนทอล ออนไลเซอร์มากกว่ากลุ่มอินทรีย์кар์บอนที่กระบวนการวิเคราะห์ต้องผ่านการให้ความร้อนกับตัวอย่างในระดับประมาณ 350 องศาเซลเซียสในตู้ให้ความร้อนก่อนที่จะนำเข้าเครื่องวิเคราะห์ส่งผลให้เกิดความคาดเคลื่อนนี้เป็นอุปสรรคที่ทำให้การวิเคราะห์หาปริมาณอินทรีย์кар์บอนที่ถูกกำหนดออกก่อนได้ง่าย ความคาดเคลื่อนนี้เป็นปัญหาเดียวที่มีผลต่อผลการเปรียบเทียบวิธีวิเคราะห์ที่รายงานโดย Gelencsér (2004) ซึ่ง เครื่องมือเฉพาะที่ใช้ในการวิเคราะห์ปริมาณอินทรีย์кар์บอนที่นิยมในปัจจุบัน คือ เครื่อง Thermal-optical carbon analyzer ที่มีการใช้แสงแม่ข่ายในช่วงของการจำแนกระยะที่อินทรีย์carbonyl บนถุงกำจัดออกไปด้วยความร้อน ทำให้มีความคาดเคลื่อนในการวิเคราะห์ลดลง อย่างไรก็ตาม เครื่องมือดังกล่าวไม่มีใช้ในประเทศไทย ดังนั้น การวิเคราะห์ในลักษณะนี้จำเป็นต้องหาแนวทางเพิ่มเติม เพื่อลดความคาดเคลื่อนที่เกิดขึ้นหากต้องการใช้เครื่องอิลิเมนทอล ออนไลเซอร์สำหรับการวิเคราะห์หาของค์ประกอบของสารcarbonyl ในตัวอย่างฝุ่นละอองขนาดเล็ก PM_{10}

เอกสารอ้างอิง

กรมควบคุมมลพิษ (2547). สรุปสถานการณ์มลพิษของประเทศไทย พ.ศ. 2546. กรมควบคุมมลพิษ กระทรวงทรัพยากรธรรมชาติและสิ่งแวดล้อม. กรุงเทพฯ.

กรมควบคุมมลพิษ (2548). สรุปสถานการณ์มลพิษของประเทศไทย พ.ศ. 2547. กรมควบคุมมลพิษ กระทรวงทรัพยากรธรรมชาติและสิ่งแวดล้อม. กรุงเทพฯ.

Abu-Allaban, M., Gertler, A.W., and Lowenthal, D.H. (2002). A preliminary apportionment of the sources of ambient PM₁₀, PM_{2.5}, and VOCs in Cairo, *Atmospheric Environment*, 36: 5549-5557.

Aulgnier, F., Sardé-Esteve, R., Cachier, H., and Chazette, P. (2001). Comparison of different analyzers for carbonaceous aerosols and application to field experiments. *J. of Aerosol Science*. 32(Supl. 1): 1007-1016.

Benner, W. H.; Hansen, A. D. A.; and Novakov, T. (1989); A concurrent-flow colud chanber study of incorporation of black carbon into droplets. *Aerosol Science and Technology*, 10: 84-92.

Bond, T., Venkataraman, C., and Masera, O. (2004). Global atmospheric impacts of residential fuels. *Energy for Sustainable Development*, 8(3): 20-32.

Borja-Aburto, V., Loomis, D., Bangdiwala, S., Shy, C., and Rascon-Pacheco, R. (1997). Ozone, suspended particulates, and daily mortality in Mexico City. *American Journal of Epidemiology*, 145: 258-268.

Castro, L. M., Pio, C. A., Harrison, R. M. et al. (1999). Carbonaceous aerosol in urban and rural European atmospheres: estimation of secondary organic carbon concentrations, *Atmospheric Environment*, 33: 2771–2781.

Chen, W., and Wang, C. (1997). An assessment of source contributions to ambient aerosols in Central Taiwan. *J. of Air and Waste Management Association*, 47:501-509

Chow, J.C., Watson, J.G., Pritchett, L.C., Pierson, W.R., Frazier, C.A., and Purcell, R.G. (1993). The DRI thermal-optical reflectance carbon analysis system—Description, evaluation and applications in United States air quality studies, *Atmospheric Environment*, 27A: 1185-1201.

- Chuersuwan, N. (1996). *The Rutgers/OGI in situ carbon analyzer for the measurement of carbonaceous aerosol in Ambient Air*. M.S. Thesis. Rutgers, The State University of New Jersey, 129 pp.
- Delfino, R. J., Becklake, M.R., Hanley, J.A. (1994). The relationship of urgent hospital admissions for respiratory illnesses to photochemical air pollution levels in Montreal. *Environmental Research*: 67(1): 1-19.
- Gelencsér, A. (2004). *Carbonaceous aerosol*. 350 pp., Springer, MA., USA.
- Grosjean, D. (1992). In situ organic aerosol formation during a smog episode: Estimated production and chemical functionality', *Atmos. Environ.* 26A: 953–963.
- Herrick, R.A., and Smith, R.G. (2003). *Instrument Engineers' Handbook, Volume 1, Process Measurement and Analysis*, 4th Edition, Liptak, B.G. Editor, CRC Press, LLC, Baca Raton, Florida.
- Hildemann, L. M. Rogge,W. F., Cass, G. R. et al. (1996). Contribution of primary aerosol emissions from vegetation-derived sources to fine particle concentrations in Los Angeles, *J. Geophys. Res.* 101: 19541–19549.
- IPCC, 2001. *Report of the Intergovernmental Panel on Climate Change, 2001*. Cambridge University Press. New York.
- Jacobson, M Z. (2001). Strong radiative heating due to the mixing state of black carbon in atmospheric aerosols. *Nature*, 409: 695–697.
- Janssen, N. A. H.; Hoek, G.; Harssema, H.; Brunekreef, B. (1997) Childhood exposure to PM₁₀: relation between personal, classroom, and outdoor concentrations. *Occup. Environ. Med.* 54: 888-894.
- Lena, T.S., Ochieng, V., Carter, M., Holguin-Veras, J., Kinney, P.L. (2002). Elemental carbon and PM2.5 levels in an urban community heavily impacted by truck traffic. *Environmental Health Perspectives*, 110: 1009-1015.
- Maisonet., M., Carrera, A., Misra, D., Jaakkola, J.J.K. (2004). A review of the literature on the effects of ambient air pollution on fetal growth. *Environmental Research*, 69(1): 106-115.
- Matsumoto, K., Hayano, T., and Uematsu, M. (2003). Positive artifact in the measurement of particulate carbonaceous substances using an ambient carbon particulate monitor. *Atmospheric Environment*, 37(33): 4713-4717.

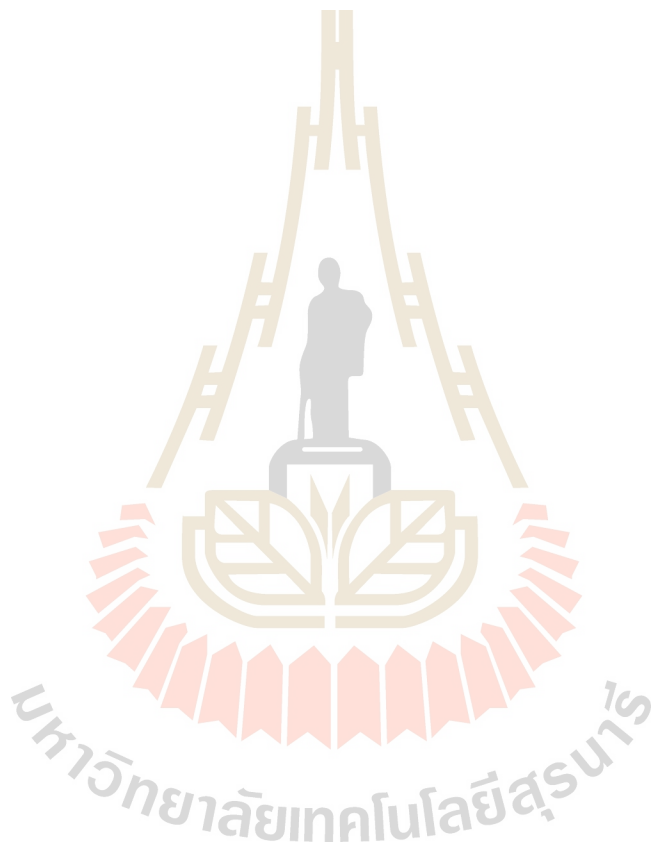
- Menon S, Hansen J, Nazarenko L et al., (2002). Climate effects of black carbon aerosols in China and India. *Science*, 297: 2250–2253.
- Molnár A, Mészáros E, Hansson H C et al., (1999). The importance of organic and elemental carbon in the fine atmospheric aerosol particles. *Atmospheric Environment*, 33: 2745–2750.
- Ostro, B.D., Sanchez, J.M., Aranda, C., and Eskeland, G. (1995). Air pollution and mortality: Results from a study in Santiago, Chile. *J. Exposure Analysis and Environmental Epidemiology*, 6: 97-114.
- Ostro, B., Chestnut, L., Vichit-Vadakan, N., and Laixuthai, A. (1999). The impact of particulate matter on daily mortality in Bangkok, Thailand. *J. Air and Waste Management Association*, 49: PM-100-107.
- Penner, J.E., Andreae, M., Annegarn, H., Barrie, L, Feichter, J., Hegg, D., Jayaraman, A., Leaitch, R., Murphy, D., Nganga, J., and Pitari, G. (2001). *Aerosol, their direct and indirect effects*, in *Climate change 2001. The scientific basis. Contribution of Working Group I to the Third assessment report of the Intergovernmental Panel on Climate Change*. Cambridge University Press, Cambridge, United Kingdom.
- Pope, C.A. III, Bates, D.V., Raizenne, M.E. (1995). Health effects of particulate air pollution: Time for reassessment? *Environmental Health Perspective* 103: 472-479.
- Radiant International LLC. (1998). *PM abatement strategy for the Bangkok Metropolitan Area*, Final Report Volume I – Report.
- Reichhardt, T. (1995). Weighting the health risks of airborne particulates. *Environmental Sciences and Technology* 29: 360A-364A.
- Rogge, W. F.; Hildemann, L. M.; Mazurek, M. A.; Cass, G. R.; Simoneit, B. R. T. (1991); Sources of fine organic aerosol; 1. Charbroilers and meat cooking operations; *Environmental Science and Technology*, 25: 1112-1125.
- Rogge, W. F.; Mazurek, M. A.; Hildemann, L. M.; Cass, G. R.; and Simoneit, B. R. T. (1993); Quantification of urban organic aerosols at a molecular level; identification, abundance and seasonal variation; *Atmospheric Environment*; 27A:1309-1330.
- Schauer, J., Rogge, W., Hildemann, L. et al. (1996) Source apportionment of airborne particulate matter using organic compounds as tracers, *Atmospheric Environment*, 30: 3837–3855.

- Schnell, R.C., and Vali, G. (1972). Atmospheric ice nuclei from decomposing vegetation. *Nature*, 236: 163-165.
- Schwartz, J., and Dockery, D.W. (1992). Increased mortality in Philadelphia associated with daily air pollution concentrations. *Amer. Rev. Resp. Disease* 14: 600-604.
- Seemayer, N. H.; Horngurg, C.; Hadnagy, W. (1994); Comparison genotoxicity testing of airborne particulates using rodent tracheal epithelial cell and human lymphocytes in vitro; *Toxicology Letters*; 72:95-103.
- Stoffyn, E. P., Potter, T. M., Leonard, J. D. *et al.* (1997). The identification of black carbon particles with the analytical scanning electron microscope: methods and initial results, *Atmos. Environ.* 198: 211-223.
- Sue, W. H.; Zhang, Q. P.; Song, W. Z.; Luo, C.; and Siu, Y. F. (1989). Problems of soot pollution and environmental effects in Northern China; *Aerosol Science and Technology*; 10:231-235.
- Turpin, B.J., Huntzicker, J.J., Hering, S.V. (1994). Investigation of organic aerosol sampling artifacts in the Los-Angeles basin. *Atmospheric Environment*, 28 (19): 3061-3071.
- Turpin B J, Huntzicker J J, (1995). Identification of secondary aerosol episodes and quantification of primary and secondary organic aerosol concentrations during SCAQS[J]. *Atmospheric Environment*, 29: 3527-3544.
- U.S. Environmental Protection Agency. (1996). *Air Quality Criteria For Particulate Matter*, Volume I; Washington, D.C.
- U.S. Environmental Protection Agency. (2004). *Criteria Document on Particulate Matter (PM_{2.5})*, Office of Research and Development, Washington, D.C., USA.
- Watson, J.G., Chow, J.C., and Houck, J.E. (2001). PM2.5 chemical source profiles for vehicle exhaust, vegetable burning, geological material, and coal burning in Northwestern Colorado during 1995. *Chemosphere* 43: 1141-1151.
- Williams, R.; Creason, J.; Zweidinger, R.; Watts, R.; Sheldon, L.; Shy, C. (2000) Indoor, outdoor, and personal exposure monitoring of particulate air pollution: the Baltimore elderly epidemiology-exposure pilot study. *Atmospheric Environment*. 34: 4193-4204.

Wilson, W.E., and Suh, H.H. (1997). Fine particles and coarse particles: concentration relationships relevant to epidemiological studies. *J. Air and Waste Management Association* 47: 1238-1249.

Zhang M G. (2004). Modeling of organic carbon aerosol distributions over East Asia in the springtime. *China Particuology*, 2(5): 192–195.

Zhang M G, Xu Y Y, Zhang R J et al., (2005). Emission and concentration distributions of black carbon aerosol in East Asia during the spring time, *Chinese Journal of Geophysics*, 48(1): 55–61.



ประวัติผู้จัด

นายนเรศ เข็มสุวรรณ จบการศึกษาระดับปริญญาตรีจากมหาวิทยาลัยมหิดล และเป็นนักเรียนทุนรัฐบาล (กพ.) ไปศึกษาจนจบระดับบัณฑิตศึกษาจาก Rutgers, The State University of New Jersey ณ Department of Environmental Sciences เคยรับราชการในสำนักงานปลัดกระทรวงสาธารณสุข สำนักงานคณะกรรมการสิ่งแวดล้อมแห่งชาติ (สำนักงานนโยบายและแผนสิ่งแวดล้อม) และกรมวิทยาศาสตร์บริการ กระทรวงวิทยาศาสตร์และเทคโนโลยี ปัจจุบันดำรงตำแหน่งอาจารย์สาขาวิชานามัยสิ่งแวดล้อม สำนักวิชาแพทยศาสตร์ มหาวิทยาลัยเทคโนโลยีสุรนารี

